

#83

O.R.

INFORMATION REPORT INFORMATION REPORT
CENTRAL INTELLIGENCE AGENCY

This material contains information affecting the National Defense of the United States within the meaning of the Espionage Laws, Title 18, U.S.C. Secs. 793 and 794, the transmission or revelation of which in any manner to an unauthorized person is prohibited by law.

S-E-C-R-E-T

50X1-HUM

COUNTRY USSR**REPORT**

SUBJECT Russian-Language Document on the IL-18
 Turboprop Aircraft (description of plane's engine, propellers,
 its electrical & navigational equipment, aircraft's systems, stability & control of aircraft, aerodynamic & flight characteristics
 of the aircraft)

DATE DISTR. 29 September 1961

NO. PAGES 1

REFERENCES

RD

DATE OF INFO.**PLACE & DATE ACQ**

50X1-HUM

SOURCE EVALUATIONS ARE DEFINITIVE APPRAISAL OF CONTENT

part of a Russian-language document on the IL-18

50X1-HUM

[COOT] turboprop aircraft

50X1-HUM

The cover and title page are missing, and there are no publishing data on the pages that were photographed. Only two chapters were photographed; these two chapters contain 36 pages of text, drawings, graphs, and tables.

2. Chapter I, Osnovnyye Svedeniya o Samolete [Basic Information on the Aircraft], is 16 pages long. It contains sections on the design and dimensions of the plane, its AI-20A turboprop engines and their propellers, its utilization, and its electrical and navigation equipment. The chapter also describes the aircraft's systems such as the hydraulic, gas, oxygen, and deicing systems.

3. Chapter II, Aerodinamicheskiye i Letnyye Dannyye Samoleta; Ustoichivost i Upravlyayemost Samoleta [Aerodynamic and Flight Characteristics of the Aircraft; Stability and Control of the Aircraft], is 19 pages long, and deals with the plane's aerodynamic components and characteristics, flight data, stability, and control.

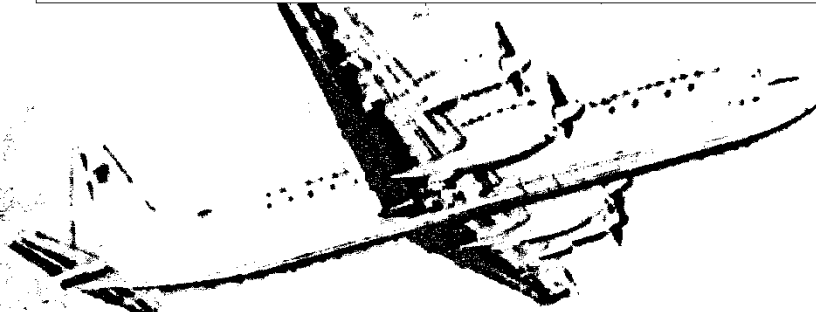
84304 DEC 4 1961

STATE	X ARMY	X NAVY	X AIR	X NSA	X ENSOCOR	X NIC	X
(Note: Washington distribution indicated by "X"; Field distribution by "#".)							

S-E-C-R-E-T

50X1-HUM

INFORMATION REPORT INFORMATION REPORT



ГЛАВА I

ОСНОВНЫЕ СВЕДЕНИЯ О САМОЛЕТЕ

I. ОБЩАЯ ЧАСТЬ

Новейший магистральный пассажирский самолет Ил-18 (фиг. 1, 2, 3, 4 и 5) конструкции С. В. Ильюшина предназначен для массовой эксплуатации.

По схеме Ил-18 представляет собой моноплан с низким расположением трапециевидным (в плане) крылом (фиг. 6).

Самолет снабжен четырьмя турбовинтовыми двигателями АИ-20А мощностью по 1000 эквивалентных л. с. каждый. В нем размещаются 73-111 пассажиров.

Ил-18 обладает большой беспосадочной дальностью полета. Он может покрыть без посадки расстояние от Москвы до Иркутска, от Москвы до Ленинграда, т. е. до 5000 км, причем остается еще запас топлива на 1 час полета. Рейсовая скорость полета 625 ± 60 км/час. Длина разбега при взлете при различных весах самолета от 800 до 1200 кг, а пробега при посадке (с торможением винтами двигателей) — всего 600 ± 700 м.

При создании Ил-18 были поставлены три основные задачи:

1. Обеспечение безопасности полета
2. Получение высоких экономических и эксплуатационных показателей.

3. Обеспечение пассажирам всех необходимых удобств во время их пребывания в пути.

При этом придавалось те же мероприятия, с помощью которых решены задачи безопасности, экономичности и комфорта.

БЕЗОПАСНОСТЬ ПОЛЕТА

На Ил-18 безопасность полета обеспечивается целым рядом специальных разработанных и внедренных мероpriятияй. Укажем важнейшие из них.

На самолете применены надежные турбовинтовые двигатели АИ-20А.

Установка четырех двигателей делает безопасным взлет самолета в горизонтальный полет при отказе одного из двух двигателей. Так, в случае отказа одного из двигателей можно продолжать полет или совершить горизонтальный полет на работе

двух двигателей горизонтальный полет проходится на меньших высотах. Рафботами специальные устройства по автоматическому и электромеханическому флюгированию винтов на всех режимах полета, что исключает возможность возникновения отрицательной тяги большой величины на неисправном двигателе.

Проведены противопожарные мероприятия. Топливо удалено возможно дальше от герметических кабин — оно вынесено в крылья. В силовых установках все горючие части изолированы от конструкции самолета стеклами из жаропрочной титановой стали; выходящие трубы проложены над крылом и выведены к его задней кромке; интенсивная система вентиляции помогает способствовать хорошему отводу тепла.

Кроме того, имеется еще мощная система огнетушения с применением высокоеффективного отвергающего состава.

В конструкцию самолета заложены элементы, повышающие его прочность при длительном воздействии повторных нагрузок. Все наиболее ответственные участки фюзеляжа имеют дублирующие силовые детали, которые обеспечивают так называемую «двойную» прочность».

Для повышения надежности многие важнейшие навигационные приборы, агрегаты радио- и высотного оборудования дублированы.

В носовой части фюзеляжа установлен радиолокатор, предупреждающий летчиков о встречном препятствии, самолетах и грозовых фронтах. При помощи этого локатора можно также решать гидравлические навигационные задачи.

Самолет располагает радиоустройством слежения засадки.

В электрооборудовании применена концентрическая многослойная система изоляции и четырехканальное двустороннее питание распределительных линий. Такая схема сохраняет работоспособность до последнего действующего источника электроэнергии.

Надежные и эффективные экипажи герметичных противобледенители должны иметь герметичную перевозку бензобаков.

-8 UNE
OCT 1974

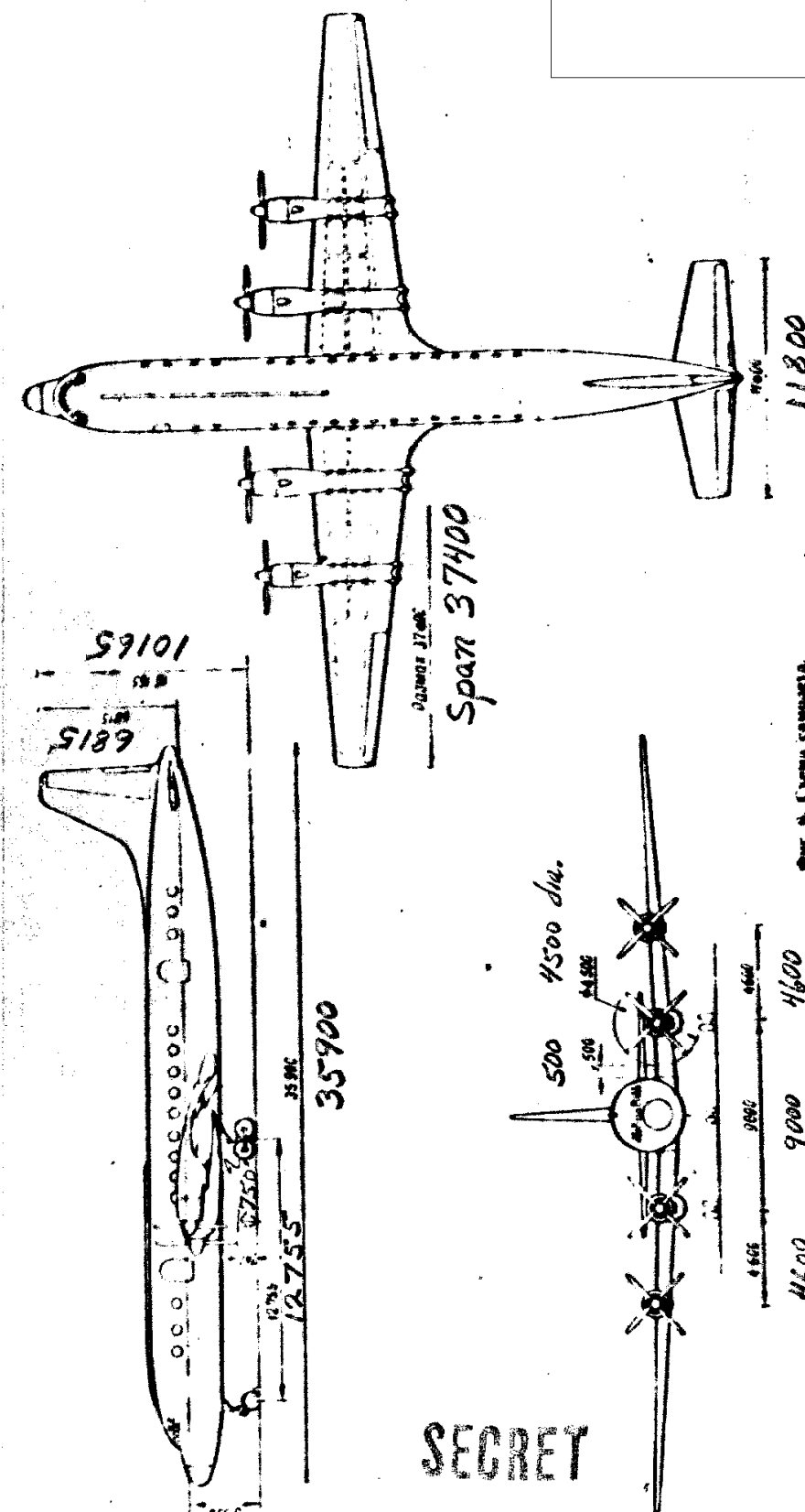


Fig. 6 - Diagram of airplane
I.L-18

THE AMERICAN JOURNAL OF

50X1-HUM

Важной особенностью Ил-18 являются относительно небольшие для такого крупного самолета дистанции полета и посадки. Это позволяет ему в случае неблагоприятной ситуации прервать полет и совершить посадку на промежуточном аэродроме. Кроме того, давление в пассажирских кабинах Ил-18 сравнительно высокое, поэтому самолет обладает хорошей проходимостью.

Самолет Ил-18 может эксплуатироваться с базами пассажирских аэропортов Аэрофлота.

ЭКОНОМИЧНОСТЬ

Реактивным показателем экономичности Ил-18 является большая весовая отдача по полезной нагрузке до 16% от взлетного веса самолета. Это достигается рациональной компоновочной схемой, позволяющей для пассажирского самолета данного класса, применением ряда новых материалов, более совершенными методами расчетов и конструирования.

Реальная скорость 625±650 км/час и коммерческая нагрузка до 13 500±14 000 кг на дальность 2500 км дают высокую экономическую производительность самолета Ил-18.

Прямые эксплуатационные расходы на Ил-18 ниже, чем у аналогичных самолетов. Это объясняется, во-первых, хорошими аэродинамическими данными самолета и характеристиками двигателей, что позволяет получать на крейсерских режимах достаточно экономичные расходы топлива на 1 км пути; во-вторых, - технологичностью конструкции самолета. Поэтому первоначальная стоимость самолета Ил-18 невысока. Кроме того, массовый ввод в эксплуатацию Ил-18 не потребует капитальных затрат на переоборудование аэродромов, так как имеющиеся аэродромы можно целиком использовать для Ил-18.

Сочетание высокой производительности со сравнительно низкими прямыми эксплуатационными расходами делает Ил-18 самолетом передовых экономических характеристик.

КОМФОРТ

В Ил-18 пассажир чувствует себя нормально, так как в самолете создаются условия, близкие к наземным.

Пассажирские места оборудованы мягкими удобными креслами с механизмом отклонения спинки, небольшой пуховой подушкой, неподвижной. В кармане спинки кресла хранится складной подголовник, который устанавливается на подлокотниках.

Пассажир имеет возможность воспользоваться индивидуальной вентиляцией и направить ее на себя струю охлажденного воздуха. Для этого достаточно открыть специальный клапан на потолке под подлокотником.

В любое время, когда обитее освещение поглощается, любой из пассажиров может включить индивидуальную лампочку для чтения.

Отделка кабин и подбор расцветок отделочных материалов сделаны таким образом, что они оказывают благоприятное действие на пассажиров. Чувствуя покой и спокойствие, существует хорошая и независимая

степень физической выносливости членов экипажа.

В кабинах самолета при помощи системы кондиционирования воздуха создается искусственный климат. Температура воздуха во время полета на любой высоте и в любое время года поддерживается около 20°. Влажность доводится до комфортной нормы - не выше 40%.

Давление в кабинах до высоты полета 5200 м равно наземному. С дальнейшим подъемом на высоту оно изменяется по определенному закону. На высоте полета 8000 м оно соответствует давлению на высоте 1500 м над уровнем моря, а на высоте полета 10 000 м давление в кабинах соответствует давлению на высоте 2400 м.

В полете пассажиру предлагается обед, завтрак или ужин в зависимости от времени дня. Дополнительно в любое время пассажир через бортпроводника может потребовать прохладительные напитки, чай, кофе, вина, фрукты.

Имеется буфет-кухня с соответствующим оборудованием.

К услугам пассажиров - гардеробы, багажники и хорошо оборудованные туалетные комнаты.

2. КОНСТРУКЦИЯ САМОЛЕТА

ФЮЗЕЛЯЖ

Фюзеляж - типа полумонокок (фиг. 7), изготовлен из дуралиомна марки Ц16А-Т. Это высокопластичный материал, хорошо изученный и проверенный при длительной эксплуатации. Он обладает высокими показателями при повторных нагрузках. Для машины, рассчитанной на многие годы интенсивной эксплуатации, какой является Ил-18, такие свойства Ц16А-Т весьма ценные.

Каркас фюзеляжа Ил-18 состоит из 78 интегральных шпангоутов, частого стрингерного набора из прессованных профилей и обшивки. Обшивка в основании имеет толщину 1,5±1,8 мм.

Все кабины самолета и два багажно-грузовых отделения расположены в герметической части фюзеляжа. Они образуют так называемую герметическую кабину. Хвостовая часть фюзеляжа, на которой установлено хвостовое оперение и находится также багажно-грузовое отделение, не герметизирована.

В наиболее ответственных местах герметической кабине - у пары в дверей, грузовых люков, аварийных выходов, встыке с хвостовой частью фюзеляжа - конструкция выполнена по системе «двухярусной прочности» это означает, что установление дублирующие сварные швы.

Окна имеют по два стекла, причем в случае разрушения одного из них второе стекло в состоянии поддерживать полное давление.

Кабина пилота отделена от остальных кабин герметичной перегородкой, которая покрасана на случай аварийного падения самолета (разрушения) в кабине пилота.

Стекла обшивки выполнены из закаленного стекла. Для усиления прочности они при работе повторных нагрузок склеены прозрачным акриловым с пластичной и гибкой.

Для герметизации закрылок Ил-18 между дверями обшивки приложены специальные уплотнители.

REF ID: A

тканая лента. Качество заклепочных швов на Ил-18 весьма высокое, так как клепка в основном производится способом прессования.

КРЫЛО

Конструкция крыла моноблочная. В плане крыло имеет трапециевидную форму и состоит из центроплана и двух консолей.

Три консольные, 36 стрингеров, 49 передний образуют яркое центроплан, обшитый снаружи дуралюминиевыми листами толщиной от 3 до 6 мм. Консоли крыла имеют два люнжерона, 26 стрингеров, 18 передний и обшивку толщиной до 2,5 мм.

В центроплане, между люнжеронами, сделаны юнгеллы, в которых размещаются мягкие топливные баки. В консолях крыла отсеки между люнжеронами герметизированы и служат непосредственно емкостью для топлива.

По дну крыла предложен нагревательный элемент электрического противообледенителя.

Закрылки и элероны цельнометаллические.

Закрылок, применен двухщелевой конструкции с дефлектором. Выдвижение и отключение закрылка производится при помощи электромеханизма, приемлемое перемещение закрылка по конической поверхности, что повышает его аэродинамическое качество.

ХВОСТОВОЕ ОПЕРЕНИЕ

Вертикальное оперение имеет стреловидность по передней кромке в 22°, стабилизатор имеет стреловидность 7°.

Стабилизатор и киль — моноблочной конструкции, трехлонжеронные, обшивка — толщиной 1 и 1,2 мм. Покрытия этих элементов снабжены электрическим противообледенителем.

Рули — цельнометаллические. У задней кромки руля и вала установлены пружинный сервокомпенсатор и триммер. Кроме того, для загрузки передней при углах отклонения руля выше 12° в режиме скольжения введен буферные пружины. На рулях высоты имеются только триммеры.

Обшивка носка в рулях выполнена из дуралюмина толщиной 0,8 мм, оставшаяся поверхность обшивки дуралюминия толщиной 0,6 мм.

ТЕХНОЛОГИЧЕСКИЕ РАЗЪЕМЫ

В процессе постройки фюзеляж самолета Ил-18 собирается в основном из двух частей: герметичной части длиной 28 м и хвостовой части длиной 7 м. В свою очередь эти части для расширения фронта работ и возможности прессовых клепок состоят из ряда продольных панелей. Каждая панель представляет собой профильтрованный лист обшивки с приклепанными к нему отрезками стрингеров и шпангоутов.

Крыло с силовыми установками составляется из семи основных частей: центроплана, двух отъемных частей (консолей), двух внутренних консолей двигателей с двумя ногами шасси и двух внешних гондол. Кроме того, каждая из этих частей собирается из нескользящих панелей. Центроплан вставляется свину в вырез в фюзеляже и своими люнжеронами соединяется с системами шлангоутами. Обшивки фюзеляжа и крыла соединяются при помощи контурного прессования.

СЕРЕДА

Все элементы оперения, так же как и фюзеляж, собираются из металлов со всеми или неизвестными.

Прессовая клепка на Ил-18 является основным способом клепки и составляет свыше 70% от всех работ такого рода.

ЭКСПЛУАТАЦИОННЫЕ РАЗЪЕМЫ

В аэродинамических условиях для ремонта и замены могут быть сняты двигатели, шасси с агрегатами, консоли крыла, элероны, закрылки и рули.

Легко могут быть сняты с самолета многочисленные крышки люков, двери, створки отсеков шасси, крышки капотов и боковой обтекатель.

На самолете Ил-18 обеспечены удобные подходы ко всем агрегатам силовых установок, гидравлическим системам и шасси. Все наиболее ответственные силовые элементы конструкции доступны для осмотра.

В обшивке крыла имеются многочисленные люки для осмотра отдельных агрегатов, шарнирных узлов систем управления и электроразъемов.

Гидравлические, газовые и электро-радиопроводки по фюзеляжу и крылу проложены в специальных коллекторах, что предохраняет проводки от повреждений, исключает возможность коротких замыканий и делает их удобными для осмотра и обслуживания.

СИЛОВАЯ УСТАНОВКА

Четыре турбовинтовых двигателя АИ-20, установленные на Ил-18, обладают суммарной взлетной мощностью 16 000 эквивалентных л. с.

Двигатели снабжены четырехлопастными автоматическими винтами АВ-68II диаметром 4,5 м.

В системе регулирования двигателя винта имеется ряд противоаварийных устройств: автоФлюгерование, флюгер-насосом, воздушно-механическая аварийная система флюгерования, установка лопастей винта на промежуточном упоре, гидравлический фиксатор винта на случай падения давления масла за регулятором винта и центробежный фиксатор шата. На стойке самолета винты предохраняют от раскрутки фиксирующий механизм.

Для сокращения пробега самолета при посадке винты снимаются с промежуточного упора и переходят на режим авторотации, что создает отрицательную тягу, затормаживающую самолет.

В местах крепления двигателей поставлены амортизаторы, которые гасят вибрации.

Отсек установки двигателя, выхлопной трубы и шасси разделены противопожарными перегородками из титана. Выхлопные трубы изолированы от крыла воздушными каналами. Кроме того, крыло закрыто кожухом из листов титана, который также охлаждается воздухом.

При поднятиях крыльев капот открывается свободный доступ к двигателю и всем частям силовой установки.

Топливная система состоит из 22 баков, симметрично расположенных в передней и задней половинах крыла. Емкость всех баков 23 700 л, что при удельном весе топлива 0,785 составляет 18 600 кг.

Баки в консольных частях крыла Ил-18 представляют собой специальные оборудование: стеки для топлива, входящие в конструкцию крыла. В центроплане установлены мягкие резиновые баки. Преду-

смотрен вариант замены части хвостовых баков в центральном баками отсеками (по типу концепции). В этом случае запас топлива на самолете увеличится до 27 000 л (29 800 кг).

Горизонтальные системы для двух правых и двух левых двигателей в нормальных условиях ведут независимо одна от другой, но в случае необходимости можно объединить их, открыв край кольцевания.

Нагревание двигателей топливом осуществляется с помощью подкачивающих электроприводов, смонтированных на расходных баках. К каждой паре двигателей топливо подается двумя подкачивающими насосами. В случае неисправности одного из насосов в оставшийся насос обеспечивает подачу топлива для работы обоих двигателей на всех режимах полета. Для лобовой гарантии на самих двигателях установлено еще по одному подкачивающему насосу.

Топливная система довольно проста, не требует каких-либо переключений и минимизаций в кранах в полете. При посадках на дальность в 3000 км запасается только часть баков, составляющих так называемую «основную» систему.

Полет на 5000 км проходит при всех заполненных баках, причем расходуется в первую очередь топливо из баков, расположенных ближе к фюзеляжу. Процесс перекачки идет автоматически.

Система смазки. Каждый двигатель имеет самостоятельную систему смазки. В нее входят: бак ёмкостью 56,5 л, воздушно-масляный радиатор, насосный агрегат и приборы контроля.

Система выполнена по короткозамкнутой схеме. Откачивающие насосы подают масло через центробежный воздухоотделитель в радиатор, откуда оно заасасывается нагнетающим насосом. Маслобак подключен параллельно основной магистрали и служит для пополнения циркулирующего масла.

Запуск двигателей — электрический, от самолетных стартер-генераторов и бортовых аккумуляторных батарей или турбогенератора. Весь процесс запуска автоматизирован.

ШАССИ

Шасси самолета состоит из двух главных ног и передней носовой ноги.

Подкрыльевые (главные) ноги имеют тележки с четырьмя тормозными колесами 930×305 мм, носовая управляемая нога снабжена двумя колесами 700×250 мм.

Амортизация шасси — аэродинамическая.

Все ноги шасси убираются в специальные отсеки вперед по полету самолета. Это гарантирует выпуск шасси при любых обстоятельствах, даже при неисправной гидравлической системе.

Створки отсеков шасси открываются только на время выпуска или уборки ног. При стоянке самолета и в полете они закрыты, что уменьшает добавочное сопротивление самолета при взлете. Эта система удобна также в эксплуатации: отсеки не загрязняются при движении самолета по аэродрому.

Рычажная подвеска передней ноги, равнительно низкое давление в шинсматиках и большие величины обжатия амортизаторов делают амортизацию самолета весьма мягкой. Для пассажиров проходят почти незаметными моменты перехода самолета от разбега к взлету и удара колес о землю при посадке.

Для повышения безопасности и разгрузки летчика все операции по выпуску и уборке шасси автомати-

зированы. Летчику достаточно нажать кнопку, как створки начинают открываться, пока не выпадают, а после выпуска шасси створки автоматически закрываются.

УПРАВЛЕНИЕ РУЛЕЙМИ И ЭЛЕРОНАМИ

Все управление листаж и выполняется при помощи дурацомиковых тяг. Бустеры в системе не применяются. Премиальные для летчиков величины нагрузок на рули и штурвалы получены путем тщательного подбора осевой компенсации рулей и элеронов, установки сервокомпенсатора и загрузочных пружин на руле поворота.

В проводки управления включены рулевые машины автопилота АИ-6Б.

Простота системы управления, отсутствие в ней каких-либо сложных механизмов делают систему весьма надежной в эксплуатации и безотказной.

Органы управления стоят на стойке дистанционными механизмами. Это предохраняет рули и элероны от повреждения при сильных порывах ветра.

ГИДРАВЛИЧЕСКАЯ И ГАЗОВАЯ СИСТЕМЫ

Рабочее давление в гидросистеме 210 кг/см². Оно создается двумя поршневыми насосами НП-25-5 с приводом от самолетных двигателей. Производительность обоих насосов 40 л/мин. Система заполняется жидкостью АМГ-10.

Посредством гидросистемы производится:

- выпуск и уборка шасси;
- нормальное торможение колес, включая торможение на стоянке;
- управление поворотом передней ноги;
- включение механизмов флюгирования;
- работа стеклоочистителей.

Управление кранами шасси дистанционное — электрическое. Сжатый азот применяется для зарядки гидроаккумуляторов, аварийного торможения колес и аварийного флюгирования.

Азот содержится на самолете в двух стальных баллонах, заряженных до давления 150 кг/см².

Жидкость очищается тремя фильтрами, которые в эксплуатации можно легко промыть без слива всей жидкости из системы. Для повышения надежности системы трубы и провода высокого давления (210 кг/см²) изготовлены из нержавеющей стали.

СИСТЕМА КОНДИЦИОНИРОВАНИЯ

Система кондиционирования воздуха на Ил-18 предназначена для создания внутри самолета нормальных жизненных условий при полетах на больших высотах — 8000–10 000 м.

Герметичная кабина Ил-18 имеет объем 240 м³ и по существующей классификации относится к категории вентилируемого типа.

Комплексная система кондиционирования обеспечивает нужное для жизни, вентиляцию, отопление и охлаждение кабины. Специальная система вентиляции работает в ней свободно, не имея вентиляторов.

Нагретый воздух для работы системы отбирается от компрессора и самолетных двигателей. В 1 час поступает от 2000 до 3100 л/с воздуха.

При полете самолета выше 8000 м температура в кабине будет соответствовать не более 15° и не

SECRET

уровнем моря; на высоте 10 000 м — 2400 м. Максимальный перепад давления между кабиной и наружной атмосферой 0,5 кПа/м². Для улучшения самочувствия пассажиров при наборе самолетом высоты или при снижении в кабине поддерживается начальное давление до высоты 5 200 м. Воздух в салоне всегда имеет необходимую влажность (не менее 40%) и комнатную температуру около 20° С. Кабина хорошо вентилируется — воздухообмен достигает 30 полных смен воздуха в час.

В систему индивидуальной вентиляции подается охлажденный воздух. Путем регулирования специального автомата может быть установлена температура воздуха в диапазоне от +5 до +40° С.

Необходимо отметить, что вся система кондиционирования действует автоматически; но в случае неисправности какого-либо механизма член экипажа может вручную задать нужный режим. Для повышения безопасности полета важнейшие агрегаты, поддерживающие нормальный высотный и температурный режим, дублированы.

ПРОТИВООБЛЕДЕНИТЕЛЬНАЯ СИСТЕМА

Противообледенительное устройство Ил-18 обеспечивает возможность длительного полета в условиях интенсивного обледенения.

На самолете защищены от обледенения носки крыла и оперения, обтекатели и лопасти винтов, воздухозаборники двигателей и радиаторы системы кондиционирования, стекла кабины экипажа, т. е. все места, наиболее подверженные этому явлению.

Самолет Ил-18 располагает мощными источниками электроэнергии, что позволяет применять систему электротермических противобледенителей. Они представляют собой токонагреваемые элементы, расположенные на лобовых частях защищаемых поверхностей.

Основными источниками электроэнергии служат генераторы постоянного тока и лишь для обогрева стекол и лопастей винтов используются генераторы переменного тока. В носки воздухозаборников двигателей и воздухозаборники обдува генераторов подается нагретый воздух от компрессоров двигателей.

Противобледенители не теряют своей эффективности при отказе одного и даже двух самолетных двигателей.

Специальные сигнализаторы извещают экипаж о входе в зону обледенения и выходе из нее.

ПРОТИНОПОЖАРНАЯ СИСТЕМА

В конструкции самолета Ил-18 предусмотрены ряд элементов, которые обеспечивают пожаробезопасность. От случайностей гарантирует специальная противопожарная система. В нее входят шесть стационарных огнетушителей ОС-8, заряженных составом «3,5» (емкость каждого огнетушителя 8 л), и четыре переносных углекислотных огнетушителя ОУ.

Стационарные огнетушители предназначаются для ликвидации пожара в гондолах двигателей, переносными огнетушителями пользуются внутри самолета.

Система выполнена таким образом, что в первую очередь автоматически, при поступлении электрического импульса от термоизвещателей, разряжается подвижная

баллонная (3 шт.), вторая трубка она используется по усмотрению экипажа. Управление разрядкой этих баллонов электродистанционное.

На случай вынужденной посадки самолета с брошенным шасси на гондолах внутренних двигателей, спущу, поставлена ракета, которая взрывается при вспышке на разрядку при соприкосновении гондолы с землей.

ПИЛОТАЖНО-НАВИГАЦИОННОЕ ОБОРУДОВАНИЕ

В основу пилотажно-навигационного оборудования самолета взят электрический автопилот АН-6Е с курсовой системой КС-6 и авиаагрифом.

На доске приборов, у рабочего места экипажа, устанавливается навигационный индикатор ИН-5БМ-1, показывающий координаты самолета. Питание мембранных-аэроэлектрических приборов производится от двух бортовых приемников воздушного давления ТП-156.

Статическая проводка этой системы имеет не только бортовые выводы, но и внутрикабинный. Этим обеспечивается работоспособность приборов в случае, если произойдет обмораживание бортовых выводов.

ЭЛЕКТРООБОРУДОВАНИЕ

На самолете Ил-18 применена система энергоснабжения постоянного и переменного тока.

Источниками электроэнергии постоянного тока являются восемь генераторов СТГ-12ТМО (мощностью по 12 квт) с приводом от самолетных двигателей и аккумуляторные батареи. При запуске двигателей генераторы работают как электрические стартёры, затем переводятся на режим питания постоянным током бортсети самолета. Номинальное напряжение сети постоянного тока при работающих генераторах 27 в ± 10%, а при питании от аккумуляторов — 24 в.

Питание ряда агрегатов переменным однофазным током производится от четырех генераторов СГО-8У мощностью по 8 квт и от преобразователя ПО-1500. Трехфазный переменный ток потребители получают от двух преобразователей ПТ-1000Н, один из которых резервный.

Для контроля за работой агрегатов энергоснабжения в кабине экипажа имеются специальные щиты с контрольными приборами.

РАДИООБОРУДОВАНИЕ

На самолете установлено радиооборудование, которое обеспечивает связь экипажа с экипажем, между самолетами, связь внутри самолета экипажа, кроме того, вождение самолета по курсу и выполнение посадки в сложных meteorологических условиях днем и ночью.

В комплект радиооборудования входят: связная станция, две командные станции, два автоматических компаса, искатель, устройство самой посадки, маркерное устройство, переговорное устройство и локатор РИСИ-2И.

Локатор РИСИ-2И функционирует в режиме ожидания возникновения каких-либо наземных пристанищий из-под самолета, о которых в суперсоставе о приближении к грозовым фронтам.

РИСИ-2И помогает ориентироваться на местности и может работать по связи с наземными радиомаяками.

SECRET

Кислородная система

Система предназначена для питания кислородом одного члена экипажа - пилота-летчика. Остальные члены экипажа пользуются кислородом только в крайних случаях. Пассажирам, которые почувствовали необходимость в кислородном питании представляется возможность пользоваться кислородом из переносных баллонов.

3. КОМПОНОВКА САМОЛЕТА И КОМФОРТ

КОМПОНОВКА

Вышеописанное устройство самолета Ил-18 выполнено таким образом, чтобы эксплуатирующие организации быстро, в условиях аэропорта, могли переоборудовать пассажирские кабины. Как показала практика, потребность в бюджетах определенной стоимости неизбежна и очевидна удобно, когда путем только нерас挑剔льных кресел можно изменить вариант компоновки кабин (фиг. 8 и 9).

Компактка самолет в компактном варианте имеет 63 пассажирских места первого и туристского

卷之三

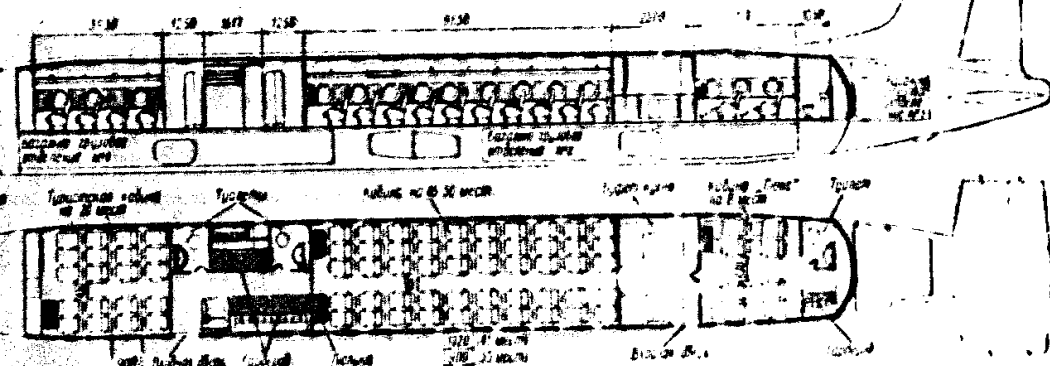
кассой, поставив столешницу места для кухни «Линия», буфет кухонный, при гульфике, комоды и при гардеробе. Остается место для гостиной расположение и размещение кухни не меняется, только сдвиг от края в основной пас-кассовой рабочей камине и сдвиг верхнюю часть буфета. Можно поставить дополнительно два ряда кресел и на симметрии могут разместиться уже 83 пассажира.

Если в аэропорте возникнет потребность в перевозке большего числа пассажиров, то путем замены в задней кабине сидений кресел туристическими общее количество мест на самолете можно увеличить до 89, причем все бытовые удобства, обслуживание и климатические условия в кабинах остаются на прежнем высоком уровне.

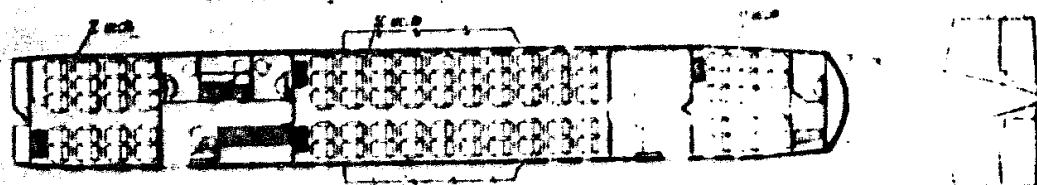
Задняя кресла на ливане позволяют разместить на самолете 111 пассажиров. Помимо этого, разработан вариант на 120 мест.

Для полетов на большие расстояния без посадки предполагается самолет в специальном варианте (так называемый административный самолет). В нем все рассчитано для длительного пребывания в самолете сравнительно небольшого числа пассажиров — до 25 человек.

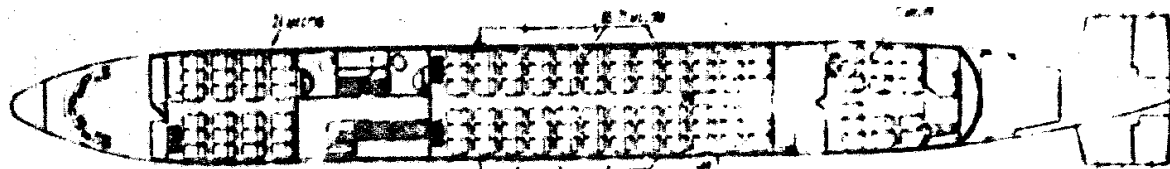
Спинкингий вагон № 73-78 пассажирских мест



Типический вариант на 64 пассажирских мест

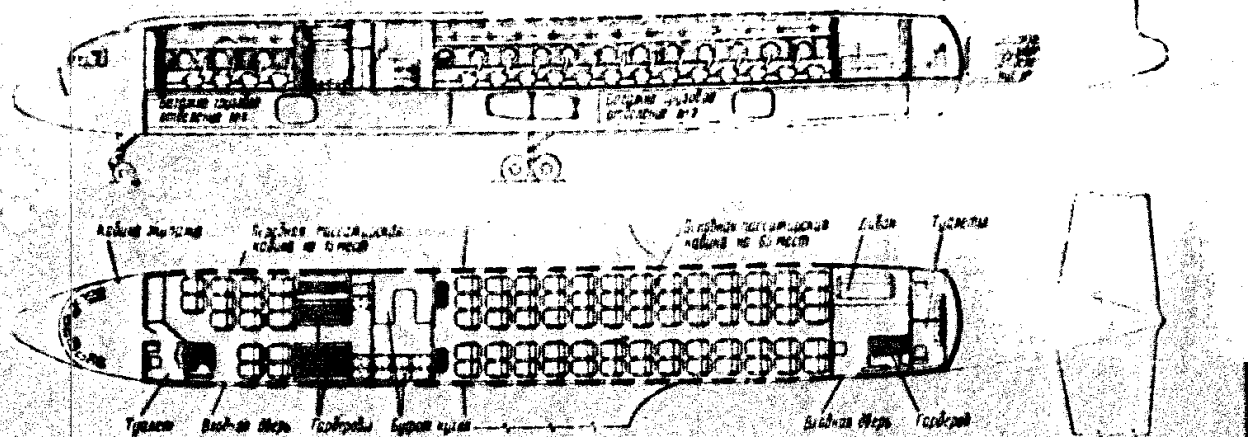


Экономический барьер на 105-м пассажирском мест

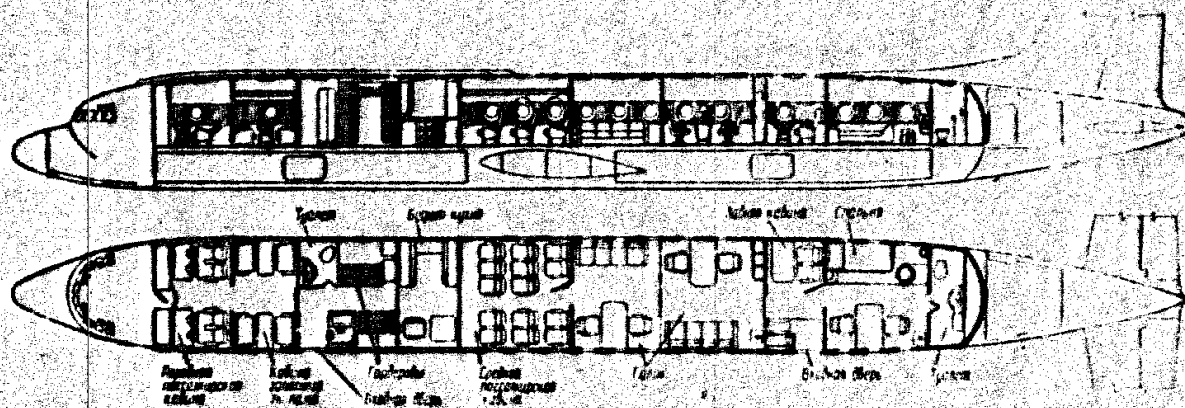


Фиг. 2. Установка винтовых компонентов кабин самолета на стенд для измерения веса

50X1-HUM



Фиг. 5а. Компоновка кабин самолета на 60 пассажирских мест.



Фиг. 5б. Компоновка кабин самолета в варианте административного самолета.

Здесь имеются: просторная гостиная (садон) с по- скольку комфорtableными креслами, столиками, удобными диванами, библиотечкой, размещенной в красиво оформленном книжном шкафу; спальня; буфет-кухня со всем необходимым для приготовления горячих и холодных блюд; гардероб, туалетные комнаты и пр.

Свободным от работы на самолете членам экипажа обеспечивается возможность отдыха - для них отведено специальное помещение. Сопровождающие лица располагаются в хорошо оборудованной кабине I класса.

Самолет Ил-18 может быть использован также в для грузовых перевозок.

КАБИНА ЭКИПАЖА

Все члены экипажа: пилот и левый лётчик, штурман и бортрадист размещаются в одной кабине, в носовой части самолета.

Переднюю часть кабины занимает приборная доска; слева и справа от неё расположены кресла

пульты; над доской установлены электро-радиоприемники.

На приборной доске сосредоточены основные изотактические-навигационные приборы, приборы централизации работы двигателей, гидросистемы и приборы контроля давления в кабинах. Центральную часть пульта занимает индикаторная трубка радиолокатора РЛСИ-2Д.

Над доской, на потолке кабинки, помещена панель управления радиокоммутацией, кнопки привода жаркой системы и выключатели ряда приборов и систем.

На левом борту пульта размещены расходомер, масломер, элементы системы запуска и панель управления некоторыми радиоэлектронными приборами: панелью контроля и управлением системой кондиционирования и сжатия газов защищает.

Между креслами, поставлен центральный пульт с ручками управления трансляции, пультом с крыльями, тумблерами в антибактериальном

SECRET

50X1-HUM

В левой части кабины оборудовано рабочее место инженера, где имеются стол для работы с картами, вертикальная приборная доска и щиток. Главными приборами у инженера являются указатели ради-



Фиг. 9. Пассажирская кабина.

компаса, курсовой системы, автотурмана и индикатор радиолокатора РСЛН-2И с пультом управления.

В правой части кабины помещается радиостанция с своим оборудованием. Здесь установлен приемник связной радиостанции, которым радиостанция управляет непосредственно, а также пульт дистанционного управления приемником командной радиостанции, блоки передатчика связной радиостанции, блоки питания, элементы управления.

На некоторых воздушных линиях в число членов экипажа включается бортинженер. Для него устанавливается складное сиденье между креслами штурмана и радиостанции.

ОБОРУДОВАНИЕ ПАССАЖИРСКИХ МЕСТ

Кресла №№ 18 весьма удобны и легки по весу. Сиденья, спинка и подлокотники выполнены из эластичного пеностого пластика.

Кресла обшиты тканью из синтетического волокна. Ткань недорогая, но прочная и красивая.

Принципальная упрощенная схема тканых кресел, чтобы ее можно было использовать для чистки и дезинфекции. При нажатии кнопки в подлокотнике открывается замок крепления спинки и пассажир может занять в кресле удобную позу, вплоть до положения лежа с вытянутыми ногами. Возвращается спинка в исходное положение повторным нажатием кнопки. К креслам сиденья этого варианта придается съемная мягкая подушка.

В подлокотнике кресла имеется пепельница, в сидячей спинке два кармана. В одном из них помещается съемный столик, в другом – инструментальный набор и литература. Кроме того, кресло снабжено небольшой пуховой подушкой и привязками ремнями.

Съемный столик может быть легко установлен в пазы подлокотника самим пассажиром или бортпроводницей. За столиком можно работать, поставив на него подушку с кницей, подложить шахматную доску.

В парных креслах средний подлокотник съемный, что дает возможность преобразовывать эти кресла в небольшой диван, на который может присесть пассажир, почувствовавший в этом необходимость.

Для самых маленьких пассажиров на передних перегородках кабин подвешиваются колыбели (люльки).

Небольшие личные вещи пассажир может положить на багажные полки, установленные вдоль бортов кабин. В кронштейнах полок смонтированы щипки, на которых расположены лампочки индивидуального освещения с кнопками включения и кнопка лампочки вызова бортпроводника. Под кронштейнами, на борту, находится шаровые насадки индивидуальной вентиляции.

Почувствовав необходимость в усиленном притоке воздуха, пассажир нажимает на один из насадков и поворачивает его в свою сторону. Через насадок под небольшим давлением будет выходить струя охлажденного воздуха.

В ночное время в пассажирских кабинах имеется только дежурное освещение. В этом случае бодрствующие пассажиры пользуются светом индивидуальной лампочки. Она включается кнопкой, установленной около каждой лампочки.

Для вызова бортпроводника надо нажать кнопку вызова на щитке. Этим подается сигнал к месту бортпроводника и одновременно зажигается зеленая лампочка, помещенная в кнопке.

Отапливаются кабины теплым воздухом, который выходит через многочисленные отдушины у основания фальшборта.

В самолете не чувствуется сквозняков, непрерывных холодных течений. Все кабины обогреваются равномерно, а количество поступающего в них воздуха точно дозируется. Теплый воздух омывает борт, перемещивается с кабинами, выдувается из отдушины через перфорации у основания подлокотников и проходит за обшивкой в грузовую отсеки. Из-под обшивки бортов всегда относительно нагрет и не является источником сырости для пассажиров в ходовой радиации.

Кабинный воздух аспирационный в чистую обработку. Специальное регуляторное устройство поддерживает в кабинах температуру 18-20°С.

01

На Ил-18 выпускается с несколькими вариантами внутренней отделки. По всему сохранился тот принцип, что подбор материалов и их расцветки должна служить удовлетворяющие пассажира, переходя в принципиальную эстетическую обстановку.

Погодок и борта обтягиваются легкой тканью, покрытой снаружи слоем эластичной пластмассы. Этот материал, называемый павинолом, имеет привлекательную бархатистую поверхность с медким сетчатым рисунком.

Особенно важно отметить, что павинол очень легок и удобен в эксплуатации. Он хорошо моется теплой водой, чистится бензином и другими растворителями. Ремонт поврежденных мест прост и не требует особого умения. Его можно сшивать или склеивать, как обычную ткань.

Хорошая изоляция из стекловолокна значительно снижает уровень шума от работающих двигателей. Пассажиры могут без напряжения разговаривать между собой, шум не мешает им.

Перегородки облицованы слоистым пластиком, имитирующим ценные породы дерева, или оклеены павинолом. Портьеры из капронового атласа обрамляют проходы между кабинами.

Круглые окна диаметром 400 мм пропускают много света, причем оконные рамки окрашены в светлый желтоватый тон — под «слоновую кость», что снижает светопоглощение. Вся бортовая панель окон драпирована гофрированными занавесками из шелковой синтетической ткани.

Ниже окон проходит пустотелая панель, называемая фальшбортом, в которой размещаются каналы отопления и электропроводка.

Панели пола оклеены специальными облегченными коврами.

Сферическая поверхность потолка кабин разбита на пять плоских граней — панелей. Каждая панель обтягивается павинолом самостоятельно. Затем все они монтируются в фюзеляже. В случае необходимости можно снять поврежденную панель для ремонта.

В зрительном отношении летение потолка на ряд плоскостей помогает избавиться от тупцелного вида интерьера.

В вечернее время кабина заливает мягкий рассеянный свет, вызывающий чувство уюта и покоя. Источниками света служат потолочные люстры, установленные над каждым рядом кресел. Люстры выполнены из теплостойкого органического стекла.

Все бытовые помещения: буфет-кухня, туалетные комнаты, гардеробы и багажник имеют такую же щадительную отделку, как и пассажирские кабины.

ПИТАНИЕ ПАССАЖИРОВ ВО ВРЕМЯ ПОЛЕТА

На Ил-18 отведено довольно большое помещение для буфета-кухни.

Буфет, объединенный с кухней, оборудован электрическими шкафами, сотейниками и многочисленными термосами в электроподогревом. Продукты и посуда доставляются на самолет в металлических контейнерах.

Эффективная вытяжная вентиляция буфета-кухни не позволяет распространяться по самолету специфическим запахам.

Карточный барфитсет, стеклянная рыбка, фрукты, вина, кофе... Все кушанья готовятся на месте и поступают из цехов питания при аэропортах. На самолете они только разогреваются. Бармены-повара сервируют специальные инструменты для приготовления пищи: сковорода, сковорода для жарки и т.д. и подают их пассажирам.

БЫТОВЫЕ УДОБСТВА

При входе в самолет пассажир оставляет свое пальто, головной убор и пр. в одном из трех гардеробов; багаж размещается в грузовых отделениях. Небольшие личные вещи пассажир может положить на багажную полку в самой кабине.

На самолете три туалетные комнаты. Они довольно просторны. Под умывальником имеется большое зеркало. Туалетные снабжаются холодной и горячей водой. Унитаз промывается специальной химической жидкостью, уничтожающей все запахи. Кроме того, эти помещения хорошо вентилируются.

БАГАЖНО-ГРУЗОВЫЕ ОТДЕЛЕНИЯ

На самолете оборудованы три отделения для грузов и багажа. Общий объем их составляет 34,06 м³.

Это очень большие отделения для самолета данного класса, — в них можно разместить свыше 8 т грузов.

Под полом пассажирских кабин расположены два основных грузовых отделения объемом: 13,32 м³ (передний) и 13,68 м³ (задний). Отделения герметизированы, что позволяет перевозить в них любые жидкости и грузы, боящиеся замораживания. Загрузка может производиться с помощью автогрузчика. Внутри отделений грузы укладываются на специальную тележку и перекатываются к месту укладки. Такой способ удобен и значительно сокращает время загрузки самолета.

Грузовые отделения по длине, через каждый метр, разграничены решетками из прочных матерчатых лент, которые препятствуют перемещению грузов во время эвакуации самолета. Помимо этого, тяжелые грузы прикрепляются ремнями к концам и полу отделения.

В хвостовой части имеется багажно-грузовое отделение № 3 также довольно большого размера — объемом 7,06 м³, по это отделение не герметизировано. Большой центр позволяет загружать в него крупногабаритные грузы.

4. ГЕОМЕТРИЧЕСКИЕ ДАННЫЕ

Кабина

Профиль	С. С. С. (С. 100 = 16)
	С. 100 = 15,11
	С. 100 = 13,1
Панель	110 м ²
Рамка кабин	37,1 м ²
Рамка кипропластика	3,9 м ²
Удлинение	10
Коридор кабин (по длине самолета)	1,13 м
Большая шир.	1,7
Двери	3

СAX 1,057 м
Угол подъема V Р (воздух-воздух) 10°
Угол заклинания У (воздух-воздух) 15°
Угол кренения (боковая) ± 15°

Элерон

Тип элеронов хвостик
Площадь элерона (воздух-воздух) 0,11 м² (5,5% S крыла)
Площадь компенсации 0,05 м²
Размер рулей элеронов 0,112 м (5,3% S крыла)
Максимальная хорда элерона 0,89 м (27% S крыла)
Минимальная хорда 0,513 м (5% S крыла)
Гарячка компенсации 0,10-0,22 м (10% S хвостика)
Угол отклонения ± 30°
Площадь тrimмера 0,055 м² (3% S крыла)
Угол отклонения trimмера ± 10°

Закрылки

Тип Внешний (воздух-воздух)
Площадь 27,15 м² (19,3% S крыла)
Размер 23,57 м (63,8% S крыла)
Максимальная хорда 1,578 м (30% S крыла)
Минимальная хорда 0,200 м (5% S крыла)
Показочный угол 30°
Вылетный угол 35°

Руль направления

Длина 5,9 м
Диаметр 3,5 м
Полный маневр с фонарями и обтекателями 9,6 м²
Маневр в двух внутренних концах 1,56 м²
Маневр в двух внешних концах 2,8 м²

Кабина

Общий объем герметичной части фюзеляжа 230 м³
Объем кабин линиала 9,30 м³
Объем передней пассажирской кабины 21,31 м³
Объем средней пассажирской кабины (стартером, не сидеть в два куласта) 21,22 м³
Объем одной туалетной комнаты 2,56 м³
Объем средней пассажирской кабины вместе с буфером-кулацкой 17,09 м³
Объем задней пассажирской кабины 16,17 м³
Объем задней туалетной комнаты 2,39 м³
Объем заднего стартера 2,38 м³
Высота пассажирской кабины 2 м
Ширина пассажирской кабины (максимальный внутренний диаметр кабины) 3,32 м
Объем кабина из одного пассажира в грузовой варианте 1,07 м³
Диаметр окна пассажирской кабины 0,4 м
Ширина сиденья кресла (максимальный диаметр кресла) 0,52 м
Шаг установки кресла (в зоне пассажирской кабины) 1,72 м (0,9 м)
Ширина центрального прохода в МАКСУ кабине 0,15 м
Размер входной двери 0,78-1,10 м
Размер аварийного выхода 0,15-0,75 м
Комплект аварийных выхлопов 1 м
Объем передней герметичной баллонной ячейки 13,32 м³
Объем задней герметичной баллонной ячейки 13,68 м³

Площадь передней герметичной ячейки (без ячейки с фонарем) 7,08 м²
Размер спускового устройства для ячейки (без ячейки с фонарем) 0,75x1,25 м
Размер спускового устройства баллонной ячейки (без ячейки с фонарем) 0,75x1,25 м
Размер спускового устройства баллонной ячейки от ячейки 0,9x1,25 м

Горизонтальное оперение

NACA-0 профиль c=12%
7,79 м² (19,75% S крыла)
21,32 м² (17,38% S крыла)
0,56 м² (34,4% S горизонтального оперения полной)
2,06 м² (31% S рулей высоты)
11,8 м²
3,19 м²
1,57 м²
1,237 м² (11,5% S горизонтального оперения)
0,674 м² (11,5% S горизонтального оперения)
0,400 м² (32,3% S рулей высоты)
0,210 м² (32,3% S рулей высоты)
Сужение горизонтального оперения 2 м
Удаление 5,02 м
Угол установки горизонтального оперения -1°
Поперечное V 0°
Угол отклонения рулей высоты -25°
Площадь trimмера (пол.) 0,66 м² (6,9% S рулей высоты)
Угол отклонения trimмера -7,5°
-13°

Вертикальное оперение

Профиль погодной стойкой плавника NACA-0 профиль c=12%
Площадь вертикального оперения 17,93 м² (12,5% S крыла)
6,65 м² (37% S вертикального оперения)
Площадь рулей высоты 7,00 м² (31,0% S вертикального оперения)
Максимальная хорда горизонтального оперения 1,65 м
Минимальная хорда горизонтального оперения 1,63 м
Максимальная хорда рулей высоты с компенсацией 1,009 м² (11,5% S вертикального оперения)
Минимальная хорда рулей высоты с компенсацией 0,702 м² (11,5% S вертикального оперения)

SECRET

Максимальная
скорость0,721 ± 0,017 м/сек (по
вертак)

жиме перед форсунками

Не более 78 кг/сек

Не более 1,2 л/сек

Минимальный хорд компенса-
ции0,1482 ± 0,017 м/сек (по
вертак)Рыхлая масса
Температура масла на установ-
ленных радиаторах не выше в ти-
повыхне более 70°C
не более 1,2 л/секСудебное время полета через
один

2,58

минимально допустимая
максимально допустимая

70°C

70°C (не более 35 мин.
непрерывной работы)

70 - 80°C

Уходистое

2,2

рекомендуемая

70°C

Угол отклонения руки подво-
дного

±25°

От режима малого газа до режима
0,8 максимального на земле
(в течение не более 15 мин.
непрерывной работы) и на
высоте

не более 100°C

Площадь сопротивления

0,31 м² (1,6% к руке по-
вертак)запасение масла в магистрали
двигателя

не менее 4 кг/сек

Площадь сопротивления

0,4 м² (0% к руке повертак)

на всех режимах у земли
на всех режимах в высотах
полета

5 - 5,5 кг/сек

Угол отклонения сопротивле-
ния от оси самолета

0,815 ±

Основные данные по конструк-
ции двигателя:

не менее 4,0 кг/сек

Шасси

Угол стоянки

10°

компрессор
камера сгорания
турбина
реактивное сопло
редуктор

Осьевой 10-ступенчатый

Коэффициент

0,0 м

Кольцевая с 10 горелками

Расстояние между колесами (база)

13,65 м (теоретическая),
12,75 м в стойочном

осевая трехступенчатая

Высота шасси (теоретическая до
оси самолета)3,79 м - главные ноги,
3,635 м - передняя нога

Нерегулируемое

Размер колес

930 × 305 мм - главные
ноги, 700 × 250 мм - перед-
ней ногиПланетарный с переда-
чным числом 0,95732

Общие данные

Высота самолета (при стойкочном
областии амортизации)

10,163 м

Левое (если смотреть со
стороны реактивного
сопла)Расстояние от конца заостри-
ти до земли

0,73 м

Расстояние от нижней кромки днища самолета до
зуба заборника двигателя до
земли

2,75 м

Расстояние от конца заостри-
ти до фюзеляжа

0,50 м

Нагрузка на 1 м² площади крыла
(при максимальном взлетном
весе)

435 кг

Нагрузка на 1 квадратную м. единицу
(при максимальном взлетном
весе)

3,8 *

Направление вращения (винта и
ротора двигателя)Осевой (если смотреть со
стороны реактивного
сопла)5. КРАТКИЕ ОСНОВНЫЕ ДАННЫЕ
ТУРБОВИНТОВОГО ДВИГАТЕЛЯ АИ-20АОбороты ротора двигателя
на режиме малого газа
на всех рабочих режимах
на земле и в полете10 100 ± 200 об/мин
12 300 ± 900

6. КРАТКИЕ ОСНОВНЫЕ ДАННЫЕ ВИНТА

Наименование винта

АВ-68И серии 02 и 03

Тип винта
Лопасти
Направление вращения
винта
Максимальная ширина до-
лностиТип профиля лопасти
Аэродинамическая серия
диаметр установки лопасти
(на контролируемом сече-
нии) - R = 1600 мм.Максимально допустимая замед-
ление температуры газов из
турбины на всех режимах

Не более 520°C

Число лопасти
Диаметр винта
Направление вращения
винта
Максимальная ширина до-
лности

Левое

Допустимое время непрерывной
работы двигателя

Не более 15 мин.

405 мм

На вспышном режиме
на nominalном и крейсерских
режимах

Без ограничения

Набор профилей ЦДГИ

Время перехода от режима малого
газа до мощности, соответствую-
щей взлетному режиму, при
причинности

Не более 15 сек.

Серия четырехзаостренных вин-
тов АВ-68 с пересчетом на не-
прерывное K = 1,125 и поправкой
на $c_{0,y} = 0,045$ * На технического описание и построении по эксплуата-
ции двигателя АИ-20, Оборониздат, 1959.Число установки лопасти
(на контролируемом сече-
нии) - R = 1600 мм).Число минимального со-
противления вращению
(последний)

0-

12-

83-37

83-39

Принцип генерации меха-
нического поворота лопасти

Схема работы

Циркуляция воздуха

Образование вихря

R-68I

SECRET

7. ЭКСПЛУАТАЦИОННЫЕ**Гидравлическая система**

Общая емкость гидросистемы	75 л
Емкость гидробака (бортовой бак)	18 л
Работающая жидкость в гидросистеме	AMF-10
Рабочее давление в гидросистеме	210±10 кг/см ²
Емкость амортизатора акрилонитрил-полимерного материала	12 л
Давление азота в баллоне	130-150 кг/см ²
Емкость амортизатора акрилонитрил-полимерного материала для фиксации	3 л
Давление азота в баллоне	60-70 кг/см ²

Шасси

Количество жидкости в запасной баке для амортизатора передней ноги	3,1 л
Количество жидкости в запасной баке для амортизатора главной ноги	11,3 л
Начальное давление в амортизаторе передней ноги	17±0,5 кг/см ²
Начальное давление в амортизаторе главной ноги	18±1
Давление в амортизаторах передней ноги	64,0-2
Давление в амортизаторах главных ног	8±0,2
Работающая жидкость (амортизационные смеси) в амортизаторах	AMF-10
Заряд газовых камер	Технический азотом по ГУ МХН 1280-51
Стоячее обжатие амортизатора передней ноги	180-190 л.с.
Максимальное стоячее обжатие передней ноги при работе подъемника (все двигатели)	Не более 230 л.с.
Стоячее обжатие амортизатора главной ноги	350-400 л.с.
Стоячее обжатие амортизатора передней ноги	25-35
Стоячее обжатие амортизатора главной ноги	63-75
Смазка для шарнирных соединений	ШЛАТИМ-201

Тормоз

Давление в тормозах при нормальном торможении	65±5 кг/см ²
Давление в тормозах при аварийном торможении	75±10
Давление при стоячем торможении	5±10

Сидовая установка

Емкость основной группы баков (№ 1 и № 8 или 9) одной половины крипты	820 л
Емкость дополнительной группы баков (№ 9, 10 и 11) одной половины крипты	205 л
Общая емкость двух групп баков одной половины крипты	1185 л
Общая емкость групп баков (18 л.с. при у. весе 0,75)	23700 л
Маркировка	T-1 ГОСТ 4138-49, TC-1 ГОСТ 7719-74 T-2 ГОСТ 8110-57
Емкость магнита (точка опоры)	56,5 л
Коэффициент износостойкости масла	17,7 л

Вес бака	32 кг
Запасенный объем по манометру	32 л
Ненаполненный объем по манометру	14 л
Объем от бойника	15 л
Марка масла для смазки ГИ 20	Маслоцвет, состоящая по объему из 75% трансформаторного масла ГОСТ 962-76 и 25% авиационного масла МК-9 ГОСТ 6157-73 и 25% МК-22 ГОСТ МС-20 ГОСТ 1013-79

Противопожарная система

Количество стационарных огнетушителей ОС-8	6
Общая емкость стационарных огнетушителей с со-стеклом 3,5 л	40 л
Вес заряда стационарного огнетушителя	6±0,4 кг
Количество переносных узелковых канистров огнетушителей ОУ	4
Общая емкость переносных огнетушителей	9,2 л
Вес заряда переносного огнетушителя	1,7 кг

Предварительное натяжение тросов

(при 20°C)

Тросовид проводки управления движителями до-гими имевь натяжение	20±4 кг
элеронами (для $d_{tp}=5$ мм)	60±8
рулевыми машинами автомобилей ($d_{tp}=3$ мм)	65±3
тормозами ($d_{tp}=2,5$ мм)	40±3

ЗАТЯЖКА БОЛТОВ И ГЛЕК (НОРМАЛЬ СМ.П.)

При затяжке пользоваться только ключами стандартными или тарированными на определенные крутящие моменты.

Запрещается пользоваться удлинителями или нестандартными ключами. При пользовании тарированными ключами руководствоваться следующей таблицей крутящих моментов с допустимым отклонением ±10%:

Рефра	Момент затяжки в кгс·м для болта из материала	Допустимое усилие на изнече в кг для болта			
		С	СМ	Б	Допустимое усилие на изнече в кг для болта
М	2	2	2	2	2
М6	1,2	11	50	25	110
М8	3,1-2,5	14	110	55	155
М10	4,1-3,5	17	230	110	170
М12	5,1-4,5	20	330	160	190
М14	6,1-5,5	22	500	400	180
М16	7,1-6,5	24	620	670	190
М18	8,1-7,5	27	800	700	210
М20	9,1-8,5	30	950	1250	230
М22	10±1,5	32	1300	1500	250

SECRET

Крутящий момент для стандартных болтов с самоконтрессующимися гайками и скотка смазанной резьбой.

Для болтов из стали 30ХГСА брать те же моменты, что и для болтов из стали 30ХГС.

Указанный момент затяжки болтовых соединений должен обеспечивать плавное смягчение пакета при первом усилии, не превышающем $20 \cdot 27\%$ от нагрузки, разрушающей болт.

Поскольку достаточна одна вкручиваемая винт, проверка вкручивания при помощи шупа

Если тарированный ключ показывает момент, превышающий допускаемый, а болт не затянут, то это означает, что реальное соединение выполнено неправильно вследствие каких-то причин, которые повлекли увеличение трения. Такое явление часто

имеет место при ввертывании болта в самоконтрессующуюся гайку). Для ступенчатых болтов моменты брать по диаметру резьбы.

Момент затяжки по нормали берется при отсутствии специальных указаний в чертежах и инструкциях.

Примечание. Для резьб диаметром больше 28 мм тарированные ключи не применяются. Особые случаи необходимости применения тарированных ключей обозначаются на чертеже или инструкции с указанием момента.

Для обеспечения необходимого смягчения пакета и предупреждения срыва резьбы работы при установке болтов с самоконтрессующимися гайками должны проводить квалифицированные рабочие, прошедшие соответствующий инструктаж.

SECRET

*LII-18**H*

ГЛАВА II

АЭРОДИНАМИЧЕСКИЕ И ЛЕТНЫЕ ДАННЫЕ САМОЛЕТА. УСТОЙЧИВОСТЬ И УПРАВЛЯЕМОСТЬ САМОЛЕТА

Г. АЭРОДИНАМИЧЕСКАЯ КОМПОНОВКА

Выбор аэродинамической компоновки определялся необходимостью максимально возможного обеспечения безопасности полета, с одной стороны, и необходимостью получения достаточно высоких экономических показателей, с другой. Особое внимание было уделено аэродинамической компоновке крыла - как наиболее важного с этой точки зрения элемента самолета.

Крыло - прямое, удлинение крыла $L = 10$, сужение крыла $\alpha = 3$. Такое соотношение геометрических параметров крыла дает для самолета Ил-18 наиболее оптимальное склонение между аэродинамическими и прочностными характеристиками.

Набор профилей по размаху крыла составлен следующим образом: от борта фюзеляжа до 21,4% полуразмаха поставлен профиль С-5-18 с относительной толщиной 16% и относительной кривизной $J = 1,25\%$. Часть крыла от точки на 21,4% полуразмаха до точки на 58,5% полуразмаха занята переходным от С-5-18 к С-3-14 профилем. На части крыла от 58,5% полуразмаха и до конца крыла поставлен более тесущий профиль С-3-14 с относительной толщиной от 15% в начале до 13% на конце и с постоянной кривизной $J = 2\%$. Кроме того, конец крыла закруглен на -1° . Благодаря такой компоновке при выходе самолета на критические углы атаки срыв начинается у борта фюзеляжа и медленно, с увеличением угла атаки, распространяется к концу крыла. Одновременно с этим вследствие уменьшения радиуса потока в зоне оперения начинает интенсивно расти тормозящий момент и самолет стремится опустить носик.

Интенсивный рост тормозящих моментов при выходе на критические углы атаки очень хорошо виден на диаграммах продувок на фиг. 10. Эти же продувки показывают, что на всех испытанных за крытических углах атаки вплоть до $\alpha = 32^\circ$ руль управления не может сохранять свою эффективность. Эффективность элеронов при этом несколько снижается, но остается достаточной для управления самолетом. Коэффициент подъемной силы c_y на за-

женной части, что указывает на отсутствие у крыла тенденции к авроротации.

Благодаря таким характеристикам крыла в за-критической области практически исключаются даже при грубых ошибках пилотирования сваливание на крыло и самопроизвольный переход в штопор. Кроме того, при переходе к критическим углам атаки на оперении возникает легкая тряска, которая при дальнейшем увеличении угла атаки постепенно усиливается, что служит предупреждением летчику о близости критического угла атаки.

Гондолы двигателей расположены на верхней поверхности крыла. Такое расположение хотя и менее выгодно с аэродинамической точки зрения, но существенно уменьшает опасность пожара, поскольку исключается возможность соприкосновения топлива с горячими частями двигателя при случайной течи баков, расположенных в крыле.

Для уменьшения вредной интерференции диффузор, образованный задней частью гондолы с крылом, закрыт специальным обтекателем, имеющим при сходе к задней кромке крыла характерный вид ласточкина хвоста. Применение этих обтекателей уменьшило вредную интерференцию между крылом и гондолой и дало увеличение качества крыла на 5-6%.

Крыло установлено по отношению к оси фюзеляжа под углом 3° . При такой установке крыла фюзеляж имеет наименьшее сопротивление на ресорных режимах.

Угол поперечного U крыла по линии носка в, равный 3° , дает минимально необходимую поперечную устойчивость, что в сочетании с высоким вертикальным оперением обеспечивает хорошие характеристики боковой устойчивости в управляемости как в обычном полете, так и в случае внезапного отказа двигателя.

Элероны занимают 35,3% размаха и 6,5% площади крыла. Благодаря 20%ной аэродинамической оси и компенсации зазоров подвергненное управление относительно легко, несмотря на большие абсолютные размеры элерона.

На правом элероне имеется зонтик с площадью равной 4% площади элерона, назначенный в случае

SECRET

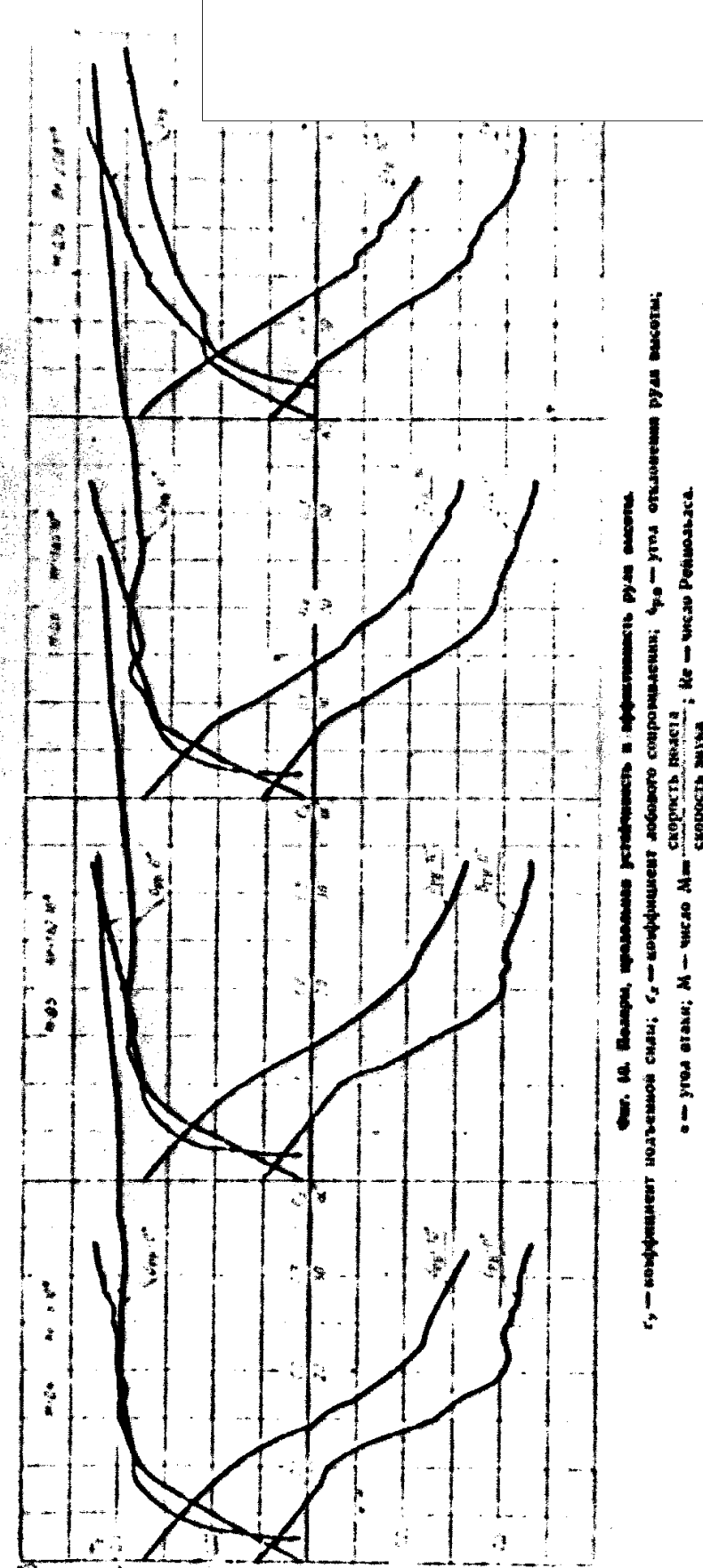
3 10

17

~~SECRET~~

Sanitized Copy Approved for Release 2011/04/08 :
CIA-RDP80T00246A060100230001-8

50X1-HUM



•. (1). Видимо, изображение получается в результате РУБ скана.
 c_1 — коэффициент наклонной связи; c_2 — коэффициент ядерного сопротивления; ψ_0 — угол отсчета руля самолета;
скорость бомбы ; M_0 — число Маха ; N_0 — угол полёта.
• — угол скан.; M — число Маха ; N — скорость полёта.

~~SECRET~~

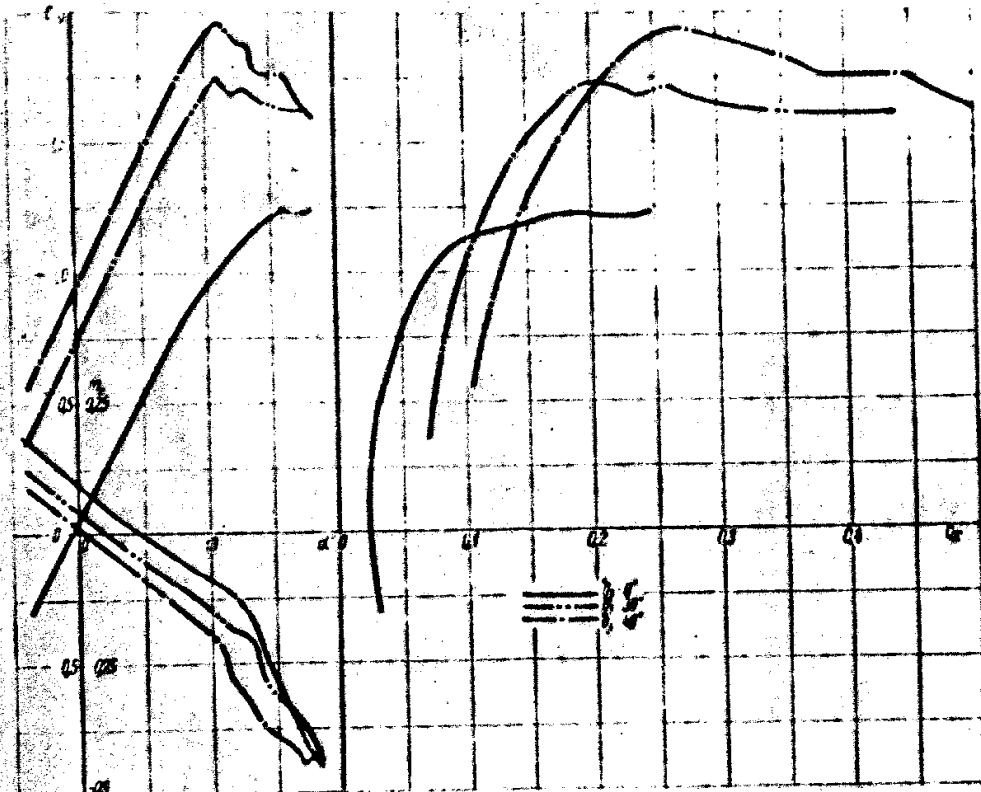
50X1-HUM

Sanitized Copy Approved for Release 2011/04/08 :
CIA-RDP80T00246A060100230001-8

надобходимости чтобы кабину снять с креплений от кабин. Максимальные углы отклонения кабин $\pm 20^\circ$.

Для улучшения весточеских свойств самолета применены двухслойные закрылки. Площадь закрылок составляет 19.4% от площади крыла, а размах закрылок равен 64% размаха крыла. Валентный угол отклонения закрылок равен 30° , посадочный -10° .

Аэродинамические характеристики крыла с открытыми закрылками приведены на фиг. 11.



Фиг. 11. Полары и продольная устойчивость при различных углах отклонения закрылок.

c_l — коэффициент подъемной силы; c_d — коэффициент лобового сопротивления; α — угол атаки; закрылок; m_t — коэффициент момента тангажа.

Фюзеляж — хорошо обтекаемой формы. В большей части фюзеляжа имеет форму цилиндра диаметром 3,5 м. Удлинение фюзеляжа $\lambda = 9,85$. Форма носовой части фюзеляжа определяется наличием капота якшика и локатора «Эмблема». В хвостовой части фюзеляжа расположено горизонтальное и вертикальное оперение. Горизонтальное оперение состоит из стабилизатора площадью 18 м^2 и руля высоты площадью $9,56 \text{ м}^2$.

Общая площадь горизонтального оперения равна $19,8\%$ от площади крыла, а руль высоты равен $11,1\%$ от площади горизонтального оперения. Центр горизонтального оперения находитсѧ самолета радиусом $3,1$ средней аэrodинамической хорды. Коэффициент статического момента оперения равен $A_{10} = 0,88$.

Эти размеры и соотношения горизонтального

ректоя обесценивают схему Ге-18 хорошую устойчивость и управляемость на всех режимах полета, в широком диапазоне центровок.

Руль высоты имеет осевую аэродинамическую компенсацию 31% и площадь $6,9\%$ от площади руля. Как видно из фиг. 10, пример весьма эффективен и позволяет полностью снимать нагрузки на штурвал. Максимальные углы отклонения руля высоты $+25^\circ$, -15° .

Вертикальное оперение состоит из киля и руля поворота. Суммарная площадь вертикального оперения

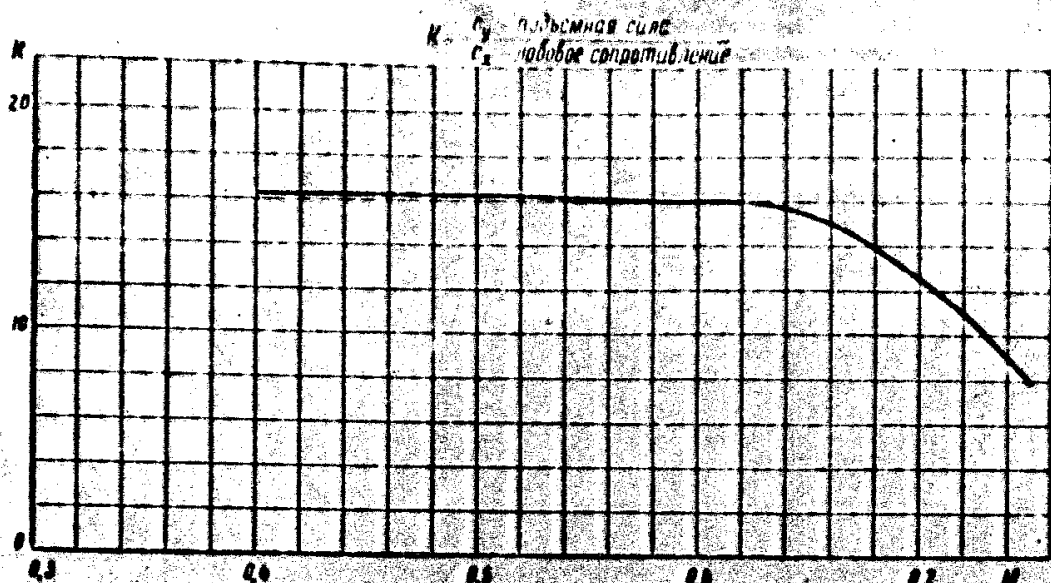
равна $12,8\%$ от площади крыла. Площадь руля поворота равна 37% от площади вертикального оперения.

Для уменьшения усилий на педалях применены линия аэродинамическая компенсация и пружинный сервокомпенсатор. Площадь осевой компенсации и пружинного сервокомпенсатора $=$ соответственно равны $31,0$ и $6,9\%$ от площади руля поворота. Максимальные углы отклонения сервокомпенсатора $\pm 15^\circ$.

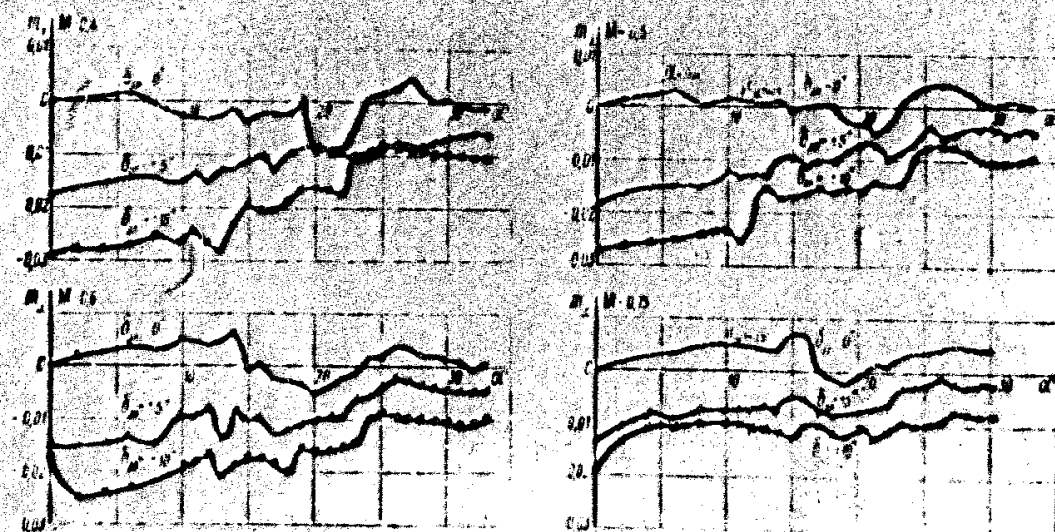
Пружинный сервокомпенсатор подключается в работу при углах на педалях превышающих 15° , причем угол отклонения сервокомпенсатора пропорционально приращению угла на педали. Благодаря этому рукоятка может регистрировать усилия при дальнейшем отклонении руля. При отклонении маневровой рукоятки в боковыми стороны есть возможность в боковину

СОВРЕМЕННЫЕ

50X1-HUM



Фиг. 12. Максимальное качество самолета.
 K — качество; M — число $M = \frac{\text{скорость полета}}{\text{скорость звука}}$.



Фиг. 13. Эффективность аilerонов.
 M — число M ; \bar{m}_a — коэффициент момента крена; R_{α} — угол отклонения аilerонов; α — угол атаки;
 $C_{L\max}$ — максимальный коэффициент подъемной силы.

SECRET

50X1-HUM

стабилизации рулем могут возникнуть падение усилий на педалях и даже перемена знака усилий. Для предотвращения этого в систему руля поворота вставлена буферная пружина, включающаяся в работу при отклонении руля выше 12° и компенсирующая падение усилий из-за износное скольжения.

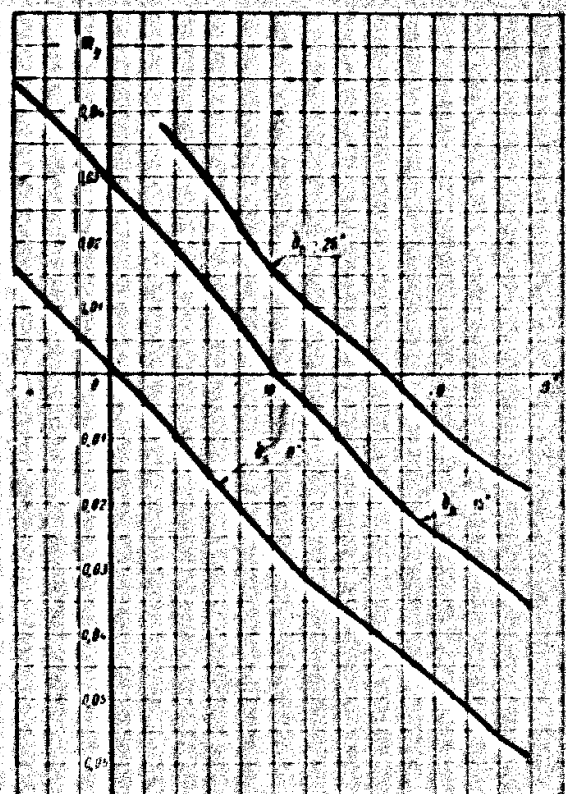
Помимо пружинного сервокомпенсатора, на руле поворота имеется триммер. Площадь триммера 4,6% от площади руля.

Усилия на педалях, необходимые для балансировки самолета в полете как с одним, так и с двумя откачивавшимися двигателями, полностью снимаются этим триммером.

2. АЭРОДИНАМИЧЕСКИЕ ХАРАКТЕРИСТИКИ

Аэродинамические характеристики самолета Ил-18 получены при испытаниях моделей и представлены в виде диаграмм аэродинамических коэффициентов.

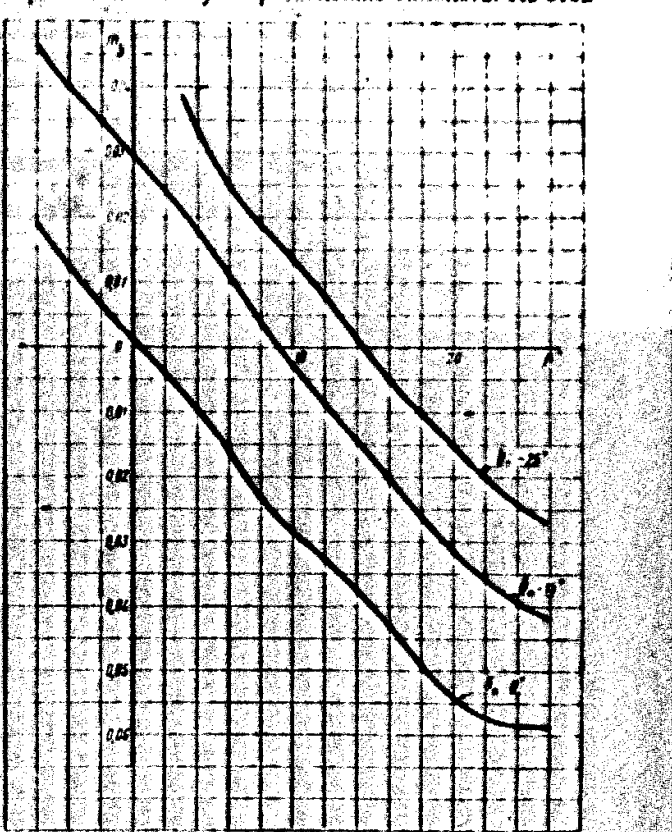
На фиг. 13 даны поляриды самолета, кривые коэффициента подъемной силы и коэффициента момента в зависимости от угла атаки при малых числах M без закрылок и с закрылками во взлетном и посадочном положении. Эти кривые хорошо иллюстрируют эффективность закрылок.



Фиг. 13. Поляриды самолета Ил-18 при $\alpha = 5^\circ$ и $\gamma_d = 0^\circ$.
 a — угол атаки;
 b — угол отклонения закрылок;
 C_x — коэффициент момента раскручивания;
 c — угол отклонения руля поворота;
 d — угол скольжения.

На фиг. 10 даны те же характеристики самолета с неоткрытыми закрылками на больших числах M от $M = 0.4$ до $M = 0.75$ при углах атаки до $\alpha = 33^\circ$ и для двух значений отклонений руля высоты $\gamma_d = 0^\circ$ и $\gamma_d = 10^\circ$.

На фиг. 12 приведена основная аэродинамическая характеристика самолета — аэродинамическое качество, представляющее отношение подъемной силы крыла к лобовому сопротивлению самолета. Из этой



Фиг. 12. Аэродинамическое качество самолета Ил-18 при $\alpha = 5^\circ$ и $\gamma_d = 0^\circ$.

- a — угол атаки;
- b — угол отклонения закрылок;
- C_x — коэффициент момента раскручивания;
- c — угол отклонения руля поворота;
- d — угол скольжения.

диаграммы видно, что до $M = 0.62$ изменение сжимаемости воздуха практически не сказывается на весущей способности крыла.

На фиг. 13 представлена кривые коэффициента кренящего момента в зависимости от угла отклонения элеронов, угла атаки и числа M . Эти кривые показывают, что элероны эффективны во всем диапазоне возможных углов атаки и чисел M .

На фиг. 14 и 15, на которых даны коэффициенты путевой устойчивости с неоткрытыми и открытыми на 40% закрылками в зависимости от угла скольжения и отклонения руля поворота, видно, что самолет обладает хорошей путевой устойчивостью и управляемостью.

Эффективность рулей установлена балансиром для самолета на углах скольжения до 15° .

СОДЕЙ

3. АЕТНЫЕ ДАННЫЕ

Все летные данные, помещенные в настоящем разделе, получены при испытаниях самолета Ил-18 с четырьмя двигателями МИ-20 и винтами АВ-6811 (диаметром 4,5 м) и приведены к стандартным атмосферным условиям.

МАКСИМАЛЬНЫЕ СКОРОСТИ ГОРИЗОНТАЛЬНОГО ПОЛЕТА

Максимальные скорости горизонтального полета по высотам и соответствующие им числа M на минимальном режиме работы двигателей даны на фиг. 16 и в табл. 1.

H м	Продолжение		
	$G_{\text{из}}$ 52 г	$G_{\text{из}}=56 \text{ г}$	$G_{\text{из}}=61 \text{ г}$
V_{max} км/час	M	V_{max} км/час	M
7000	0,64	0,607	0,56
8000	0,66	0,619	0,52
9000	0,65	0,635	0,50

Виджаванет 1. Максимальные скорости горизонтального полета при $G_{\text{из}}=1210 \text{ кг/кв.м}$ до высот:

$H=4700 \text{ м}$ при весе 61 г,

$H=5200 \text{ м}$ при весе 56 г,

$H=5800 \text{ м}$ при весе 52 г.

2. Максимально допустимое число $M=0,67$.

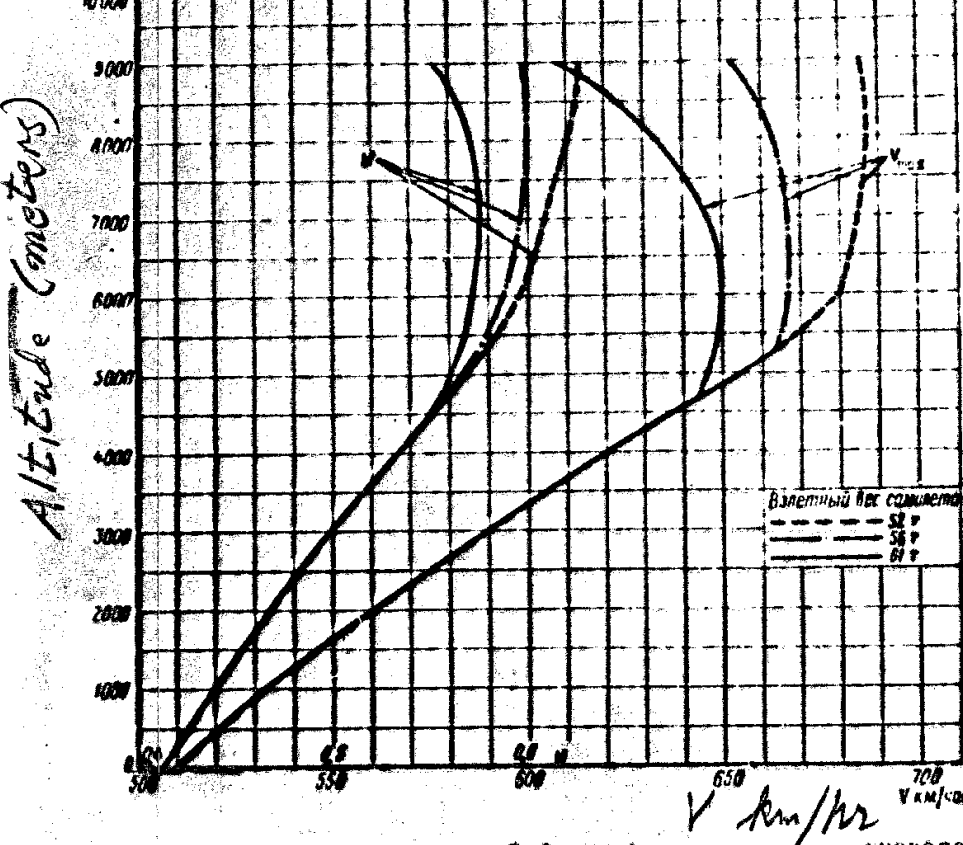


Таблица 1

Фиг. 16. Максимальные скорости горизонтального полета самолета и числа M по высотам.

Режим работы двигателей nominalnyj. H — высота полета; V — максимальная скорость полета; M — число M ; $G_{\text{из}}$ — излишний вес самолета.

СКОРОПОДЪЕМНОСТЬ

Вертикальные скорости, время набора высоты и падение одновременно скорости полета при наборе высоты на минимальном режиме работы двигателей приведены на фиг. 17 и в табл. 2.

H м	$G_{\text{из}}=52 \text{ г}$		$G_{\text{из}}=56 \text{ г}$		$G_{\text{из}}=61 \text{ г}$	
	$V_{\text{рас}}$ км/час	M	$V_{\text{рас}}$ км/час	M	$V_{\text{рас}}$ км/час	M
0	510	0,415	510	0,415	510	0,415
1000	532	0,410	532	0,410	532	0,410
2000	560	0,405	560	0,408	560	0,408
3000	589	0,400	589	0,400	589	0,400
4000	620	0,532	620	0,532	620	0,532
5000	653	0,567	653	0,567	653	0,567
6000	679	0,576	679	0,596	679	0,570

Таблица 2

H м	$G_{\text{из}}=52 \text{ г}$		$G_{\text{из}}=56 \text{ г}$		$G_{\text{из}}=61 \text{ г}$	
	t сек.	ΔV км/час	t сек.	ΔV км/час	t сек.	ΔV км/час
0	0	0	0	0	0	0
1000	10,0	0	11,7	0	10,0	0
2000	10,5	1,5	11,3	0,1	11,5	0,1
3000	10,5	2	11,3	0,1	11,5	0,1

SECRET

50X1-HUM

	$\sigma_{\text{сп}} = 52 \text{ г/см}^2$	$\sigma_{\text{сп}} = 36 \text{ г/см}^2$	$\sigma_{\text{сп}} = 10 \text{ г/см}^2$
	MIN.	MAX.	MIN.
2000	10,1	3,8	3,8
3000	9,7	4,8	4,7
4000	9,3	6,8	4,4
5000	8,9	8,3	7,4
6000	8,5	10,7	9,5
7000	8,0	13,4	12
8000	4,3	16,8	18,9
9000	3,3	21,5	24,0
10000	2	29,1	35,8

При
запуске
двигателей
потребо-
вается

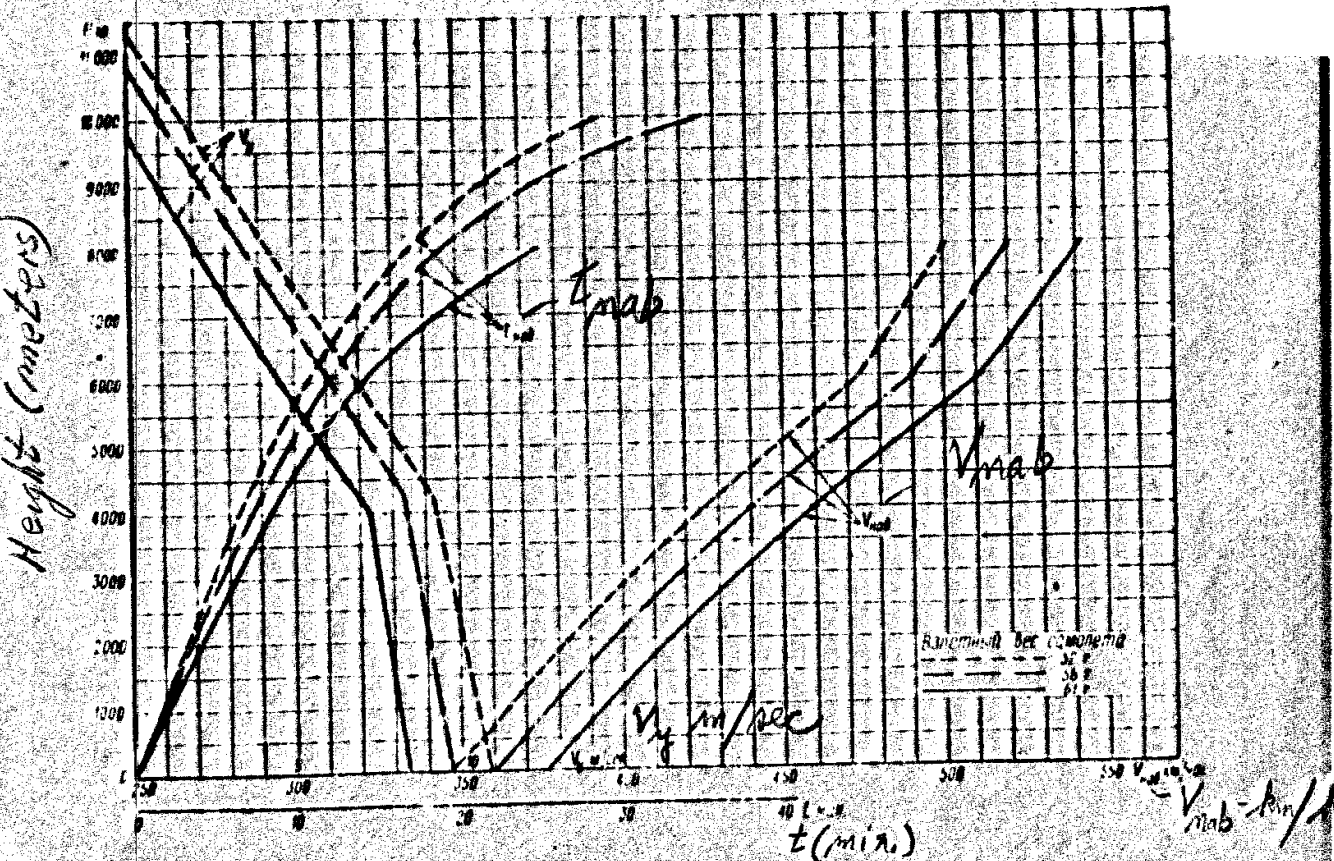
10 610 кг 10 370 кг 9350 кг

Все данные приведены к стандартным атмосферным условиям: $p = 760 \text{ мм рт. ст.}$, $T = 15^\circ\text{C}$.

Взлет производится с бетонной полосы, двигатель — на взлетном режиме. Закрылки отклонены на угол 30°.

В табл. 3 приведены данные по нормальному взлету с четырьмя работающими двигателями, в табл. 4 и 5 — данные по завершенному и прерванному взлету с одним (любым) двигателем, откаванным в точке критической скорости. Критическая скорость выбрана из условия равенства длины потребного разбега с одним отказавшим двигателем и длины дистанции прерванного взлета.

При таком выборе критической скорости получается наименьшая длина потребной взлетной полосы. Исходя из этих соображений при отказе двигателя на скорости меньше критической следует прекратить взлет, а при отказе на скорости больше критической взлет следует завершить.



Фиг. 17. Максимальные вертикальные скорости, времена набора высоты и скорости набора по траектории в зависимости от высоты полета.

H — высота полета; V_y — вертикальная скорость (скорость плавности); $V_{\text{кл}}$ — скорость набора по траектории;

График $\frac{d}{dt}$ — время набора высоты ($t_{\text{кл}}$) — взлетный вес самолета.

SECRET

50X1-HUM

SECRET

Таблица 3
Нормальный взлет с четырьмя работающими двигателями

Груз, кг	52	54	56	58	61
$V_{\text{рас}} \text{ в км/час}$	203	209	211	214	220
$T_{\text{рас}} \text{ в м}$	510	580	940	1050	1240
$L_{\text{рас}} \text{ от } V_{\text{рас}} = 10 \text{ км} \text{ до } H=15 \text{ м}$	1310	1450	1600	1705	2030

Таблица 4
Завершенный взлет с одним двигателем, отказавшим в точке критической скорости

Груз, кг	52	54	56	58	61
$V_{\text{рас}} \text{ в км/час}$	160	166	172	185	190
$T_{\text{рас}} \text{ в м}$	223	227	231	235	242
$L_{\text{рас}} \text{ в м}$	1210	1310	1430	1570	1810
$L_{\text{рас}} \text{ от } V_{\text{рас}} = 10 \text{ км} \text{ до } H=15 \text{ м}$	2060	2360	2600	2810	3060

Таблица 5
Продолженный взлет с одним двигателем, отказавшим в точке критической скорости

Груз, кг	52	54	56	58	61
$V_{\text{рас}} \text{ в км/час}$	160	166	172	185	190
$T_{\text{рас}} \text{ в м}$	478	530	610	705	855
$L_{\text{рас}} \text{ от } V_{\text{рас}} = 10 \text{ км} \text{ до } H=15 \text{ м}$	736	785	820	860	955
$L_{\text{рас}} \text{ от } V_{\text{рас}} = 10 \text{ км} \text{ до } H=15 \text{ м}$ (метры)	1210	1310	1430	1570	1810

ПОСАДКА Landing

Посадка производится с закрылками, отклоненными на 40°, на бетонную полосу.

Данные по длине пробега и посадочной дистанции приведены в табл. 6.

Таблица 6

Груз, кг	52	54	56	58	61
$V_{\text{рас}} \text{ в км/час}$	153	158	162	165	202
$T_{\text{рас}} \text{ в м}$	610	690	720	755	800
$L_{\text{рас}} \text{ от } V_{\text{рас}} = 10 \text{ км} \text{ до } H=15 \text{ м}$	1170	1210	1260	1300	1360

SECRET

При полете с нормальным весом самолета
превышать $G_1 > 5$ г. Однако в исключительных случаях
разрешается полет с закрылками в положении 40°
и при максимальной интенсивности аэрофона. Но во время посадки
следует осмотреть лодку, ноги шасси и части крыльев
близ крыла.

2. При пробеге торможения общий пробег самолета
составляет с упором, а затем на склоне 100-
170 м, все включая тормоза, всего 1500 м.

3. Разрешается посадка с боковым ветром до $W=15$ м/секунду.

4. Уход из второй круга возможен с любой высоты до
начала парирования при четырех работающих двигателях
и с высотой 50 м при одном или двух отказавших двигателях.

ДОПУСТИМЫЕ СКОРОСТИ И ВЫСОТЫ ПОЛЕТА

На фиг. 18 дана диаграмма допустимых горизонтальных
скоростей и высот полета.

Индикаторная скорость связана с истинной воздушной скоростью полета соотношением $V_i = VV/\Delta$,
где $\Delta = 0,379 P \text{ яз рт ст}/T^2$.

В левой части диаграммы нанесены линии минимально допустимых скоростей в зависимости от по-
летного веса и высоты при полете как в спокойной
атмосфере, так и в болтанке с порывами ветра до
 $W = 10$ м/сек.

При полете в области скоростей и высот слева от
линий минимально допустимых скоростей на само-
лете возникает тряска, предупреждающая о выходе
на большие углы атаки.

Справа область допустимых скоростей и высот
ограничивается максимально допустимым числом
 $M = 0,65$ и максимально допустимыми скоростями
 $V_{\text{рас}} = 510$ км/час в горизонтальном полете и
 $V_{\text{рас}} = 610$ км/час в планировании. Эти ограни-
чения установлены в соответствии с нормами про-
ности для самолетов.

В правом верхнем углу дан график зависимости
от числа M коэффициента подъемной силы $C_{y, \text{сп}}$,
при котором на самолете воиникает предупредитель-
ная тряска.

Минимальные скорости самолета с закрылками
во взлетном и посадочном положении на 15—20%
меньше минимальных скоростей самолета с убрав-
шими закрылками.

STALLING SPEEDS

СКОРОСТИ СРЫВА

В табл. 7 приведены скорости срыва в зависи-
мости от полетного веса и угла отклонения закрыл-
ков.

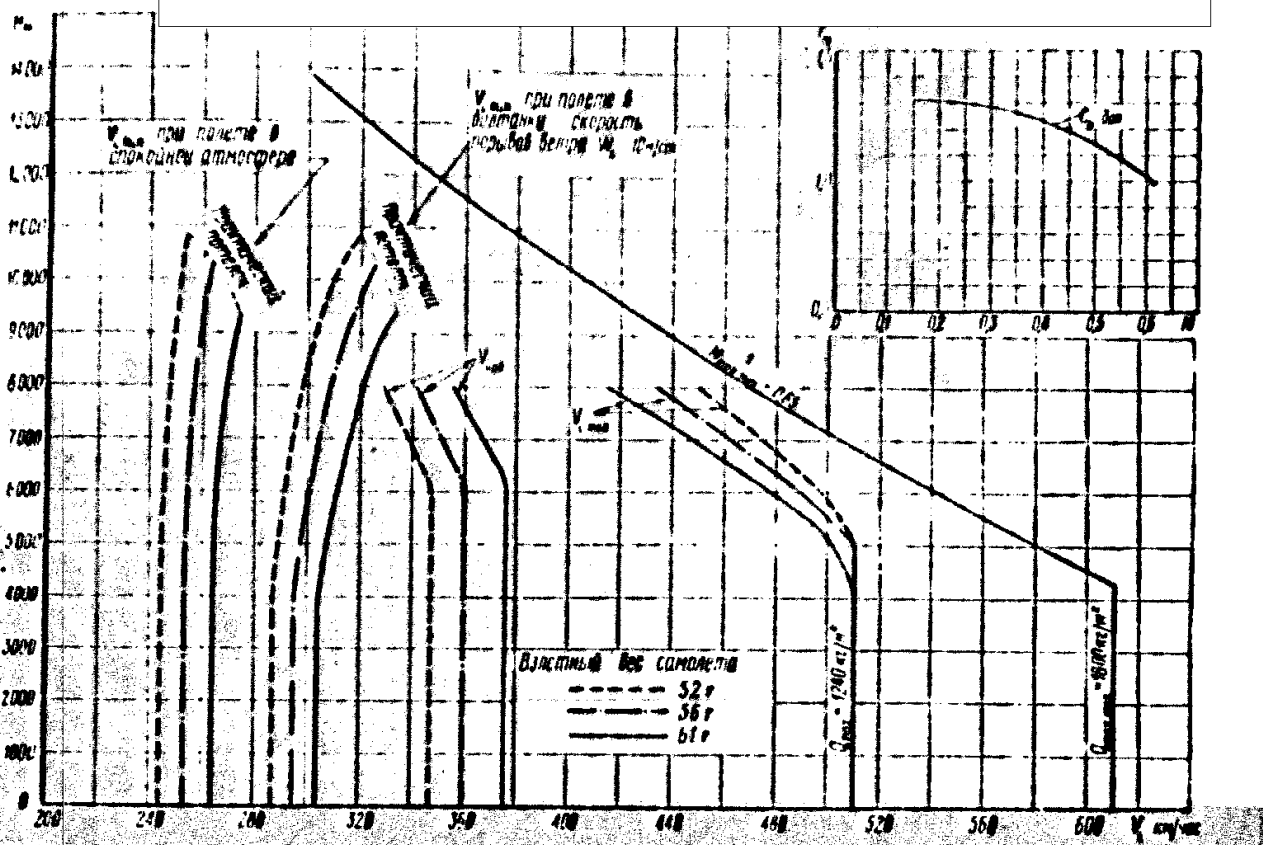
При уменьшении скорости полета до скорости
срыва самолет опускает нос и вновь начинает наби-
ратать скорость.

Эффективность органов управления на скорости
срыва достаточна.

Таблица 7

Груз, кг	Подъемный вес самолета				
	52	54	56	58	61
Закрылки в посадочном положении $\alpha_s = 10^\circ$	171	174	177	180	183
Закрылки во взлетном положении $\alpha_s = 30^\circ$	175	180	183	185	191
Закрылки убраны $\alpha_s = 0^\circ$	211	203	212	216	214

Примечание. Выпуск и забор воздуха из кабин
не влияют на величину скорости срыва.



Фиг. 18. Допустимые индикаторные скорости полета в зависимости от высоты полета.

H — высота полета; V — индикаторная скорость; $V_{\text{инд}}$ — минимальная индикаторная скорость; $V_{\text{инд}}^{\text{ макс}}$ — максимальная индикаторная скорость; V_w — индикаторная скорость ветра на борту высоты по траектории; C — коэффициент подъемной силы; M — число M ; $M_{\text{ макс}}$ — предельное значение числа M ; $V_{\text{ макс}}$ — максимальный скоростной напор; $\sigma_{\text{ макс}}$ — предельный скоростной напор.

RANGE

ДАЛЬНОСТЬ ПОЛЕТА

Большая емкость топливных баков, вмещающих до 18 600 кг топлива, и значительные размеры грузовых отделений позволяют эффективно использовать самолет Ил-18 для перевозки пассажиров и груза на расстояния от 800 до 5000 км.

Ниже приводятся диаграммы зависимости между дальностью полета на высотах 7000, 8000, 9000 м, в статическом весом, заправкой топлива и коммерческой нагрузкой. По этим диаграммам можно решать задачи, связанные с перевозкой заданной коммерческой нагрузки на заданное расстояние. По оси абсцисс на этих диаграммах отложена коммерческая нагрузка в тоннах, по оси ординат отложены расстояния в километрах. Потребная заправка топлива и получающийся при этом взлетный вес показана на диаграмме сеткой кривых с соответствующими надписями. Порядок пользования диаграммами можно уяснить из следующего примера.

Требуется перевезти 10 т коммерческой нагрузки на расстояние 3500 км. Высота полета 8 км. На трассе ожидается встречный ветер скоростью до 50 км/час. Определить потребное количество топлива и взлетный вес самолета.

По шкале дальности и шкале скорости ветра находим точку A , соответствующую дальности 3500 км и скорости ветра 50 км/час.

Из точки A проводим линию, параллельную линии встречного ветра, до нулевого значения скорости ветра (точка B). Из точки B проводим горизонтальную прямую до пересечения с перпендикуляром, восстановленным из отметки $G_{\text{ком}}$ = 10 т на шкале коммерческой нагрузки. В точке пересечения (точка B) находим потребный запас топлива 14,8 т. Взлетный вес 57,8 т.

В найденную величину потребного для данного полета запаса топлива входит резервный запас топлива на час полета в топливо, необходимое для пробега двигателей и руления перед взлетом и после посадки.

Диаграмма составлена для веса снаряженного самолета $G_{\text{сн}} = 33 000$ кг, что соответствует весу самолета без топлива, коммерческой нагрузки и без бортового запуска.

При другом весе снаряженного самолета нужно соответствующим образом изменить принцип для расчета веса коммерческой нагрузки.

SECRET

NOTE

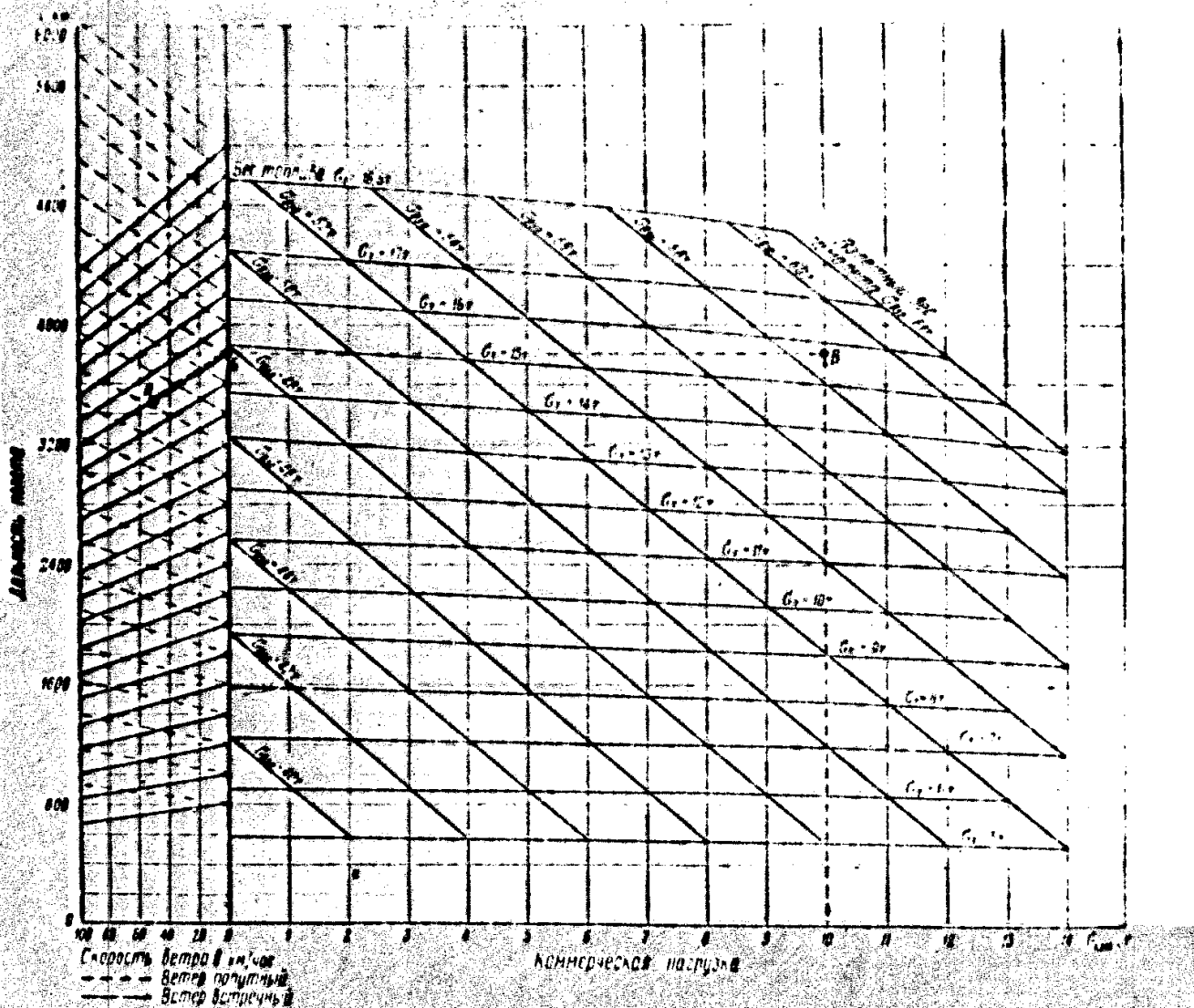
Все исходные данные остаются, как и в предыдущем расчете, но $G_{\text{вс}} = 33700 \text{ кг}$, т. е. самолет стал стяжесер на 700 кг. Тогда при сохранении фактической коммерческой нагрузки в 10 т для расчета следует взять коммерческую нагрузку не 10 т, а 10,7 т и на диаграмме найти $G_{\text{вс}} = 14,9 \text{ т}$ и $G_{\text{вс}} = 38,6 \text{ т}$.

Дальность полета для тех случаев, которые не отражены в диаграммах фиг. 19, 20 и 21, можно подсчитать по диаграмме обобщенных километровых расходов топлива в зависимости от числа M и приведенного веса самолета (фиг. 22).

Приведенный вес равен в летнем весу, умноженному

на коэффициент $\frac{r_H}{r_H + r_0}$. где r_H — атмосферное давление на высоте полета в м рт. ст.

Километровый расход получается умножением обобщенного километрового расхода на в летнем весе в тоннах. К тоннажу, потребному для горизонтального полета, необходимо добавить еще то количество топлива, которое расходуется для набора высоты и снижения до $H = 4000 \text{ м}$ в конце полета. Расход топлива на набор высоты и при посадке при этом путь определяется по фиг. 23. Расход топлива и пройденный путь на снижение до $H = 4000 \text{ м}$ берутся независимо от веса по табл. 8.



Фиг. 18. Диаграмма зависимости дальности полета на высоте 7000 м от взлетного веса самолета, заправки топлива и коммерческой нагрузки, при полете с расходом $G_{\text{вс}} = 33700 \text{ кг}$, что соответствует варианту коммерческой нагрузки 10 т и без бортового запаса.

При расчете дальности учитывались:
 1) аэродинамический запас топлива на 1 час полета — 1800 кг;
 2) расход топлива на приобу звукоструи, расход топлива в высоте 4000 м и досадку 1100 кг.

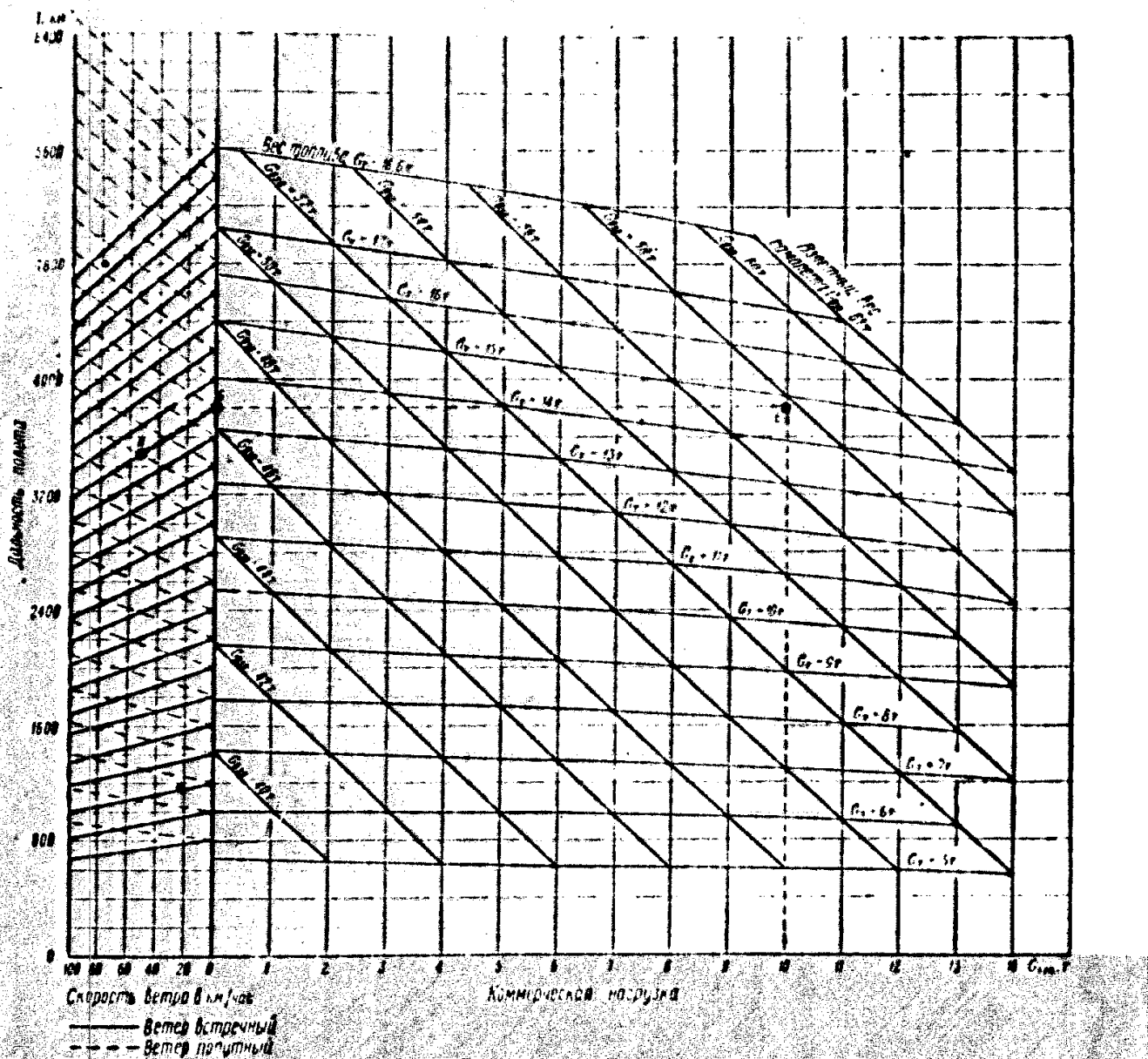
Все скользящего самолета, т. е. все самолета без топлива

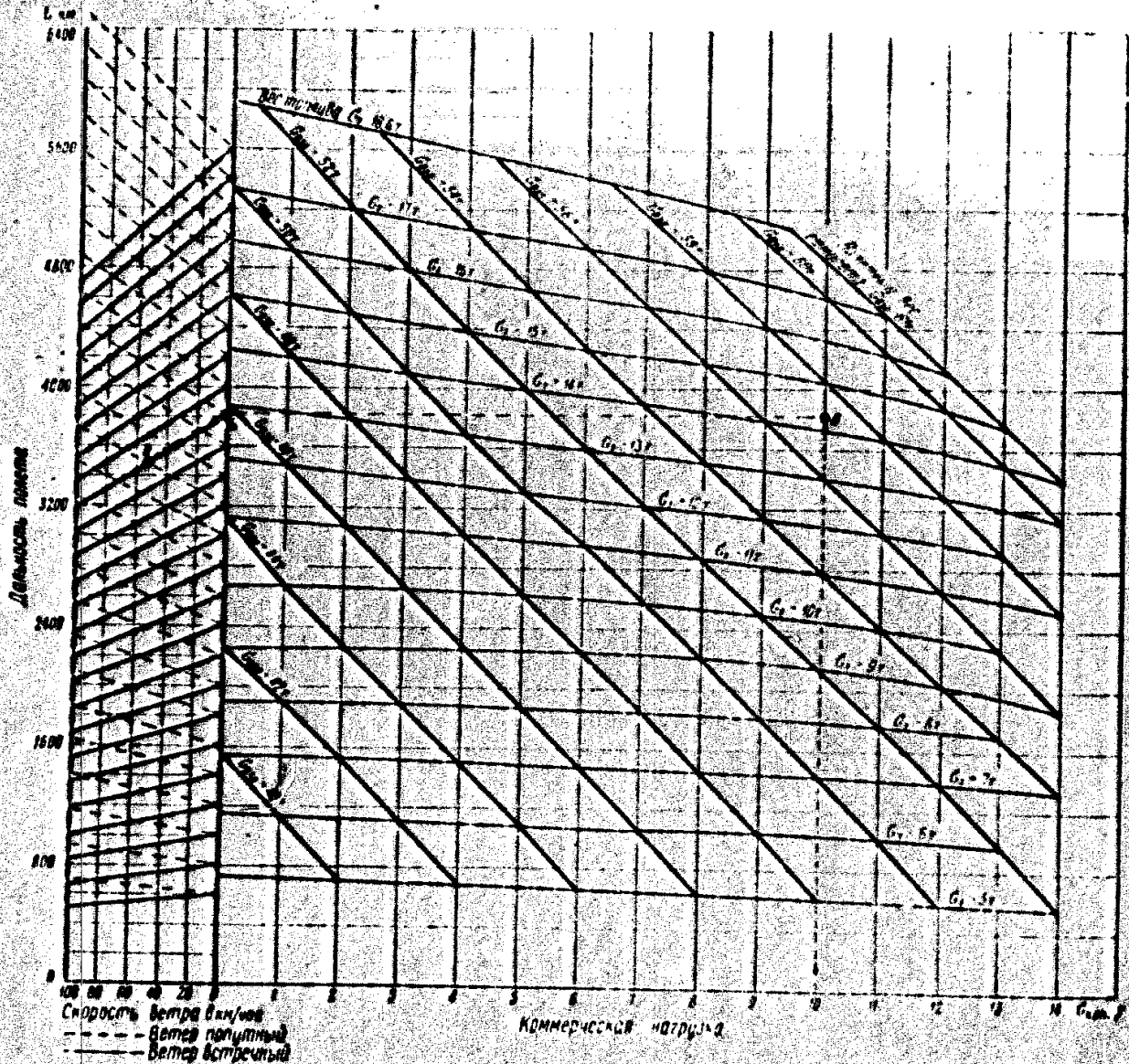
и коммерческой нагрузки, кроме случая $G_{\text{вс}} = 33700 \text{ кг}$, что соответствует варианту коммерческой нагрузки 10 т и без бортового запаса.

При других значениях $G_{\text{вс}}$ длина полета при полете с расходом топлива

Скорость полета принята равной 650 м/с.

SECRET





Фиг. 21. Диаграмма зависимости дальности полета на высоте 9000 м от взлетного веса самолета, заправки топливом и коммерческой нагрузки.

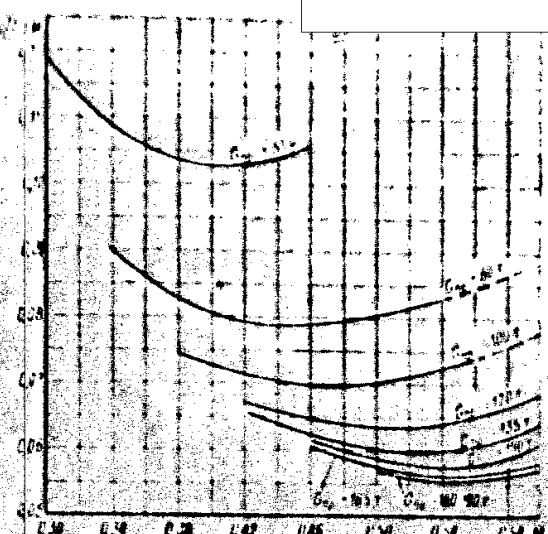
При расчете дальности учтены:

- 1) аэродинамический расход топлива на 1 час полета – 1800 кг;
- 2) расход топлива на пробег двигателей, руленине, планирование с высоты 4000 м и посадку 1100 кг;
- Вес снаряженного самолета, т. е. вес самолета без топлива

и коммерческой нагрузки, принят 1800 кг, что соответствует варианту компоновки кабин на 8 пассажирских мест и без бортового запуска.

При других значениях G и P соответствующие величины коммерческой нагрузки. Скорость полета гиперб

SECRET



Фиг. 22. Обобщенная характеристика километровых расходов топлива (нормальный полет с четырьмя работающими двигателями).

— обобщенная характеристика километровых расходов топлива;

Истинный расход топлива на километр пути

$$\sigma_{\text{ист}} = \sigma_{\text{взл}} \times \varphi (\text{кг/км}),$$

$\sigma_{\text{взл}}$ — приведенный вес самолета

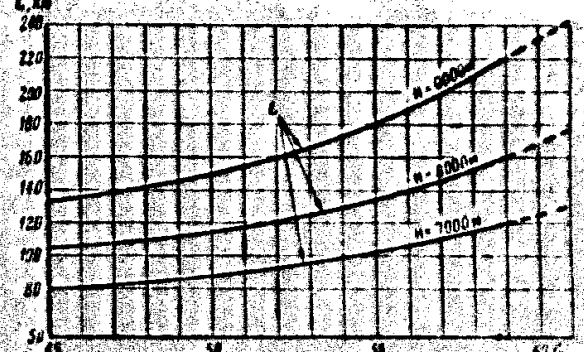
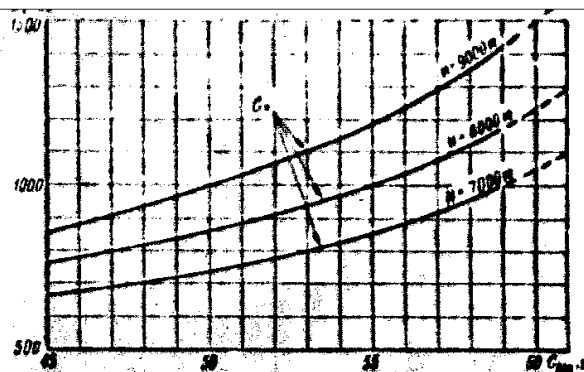
$$\sigma_{\text{взл}} = \sigma_{\text{взл}}^0 \cdot \frac{T_0}{T_H}$$

где $\sigma_{\text{взл}}$ — взлетный вес самолета в кг;

T_H — атмосферное давление в мм рт. ст. на высоте

полета H ;

φ — число М.



Фиг. 23. Расход топлива в путь при наборе высоты.
— дальность полета; H — высота полета; $\sigma_{\text{топ}}$ — расход топлива; $\sigma_{\text{взл}}$ — взлетный вес самолета.

Таблица 5
Расход топлива в путь при снижении до $H = 6000 \text{ м}$
Двигатели на режиме малого полетного газа

Высота, с которой начи- нается снижение	Расход топлива	Путь
	кг	км
9000	350	150
8000	290	120
7000	230	90
6000	150	60
5000	80	30

Кроме того, добавляется 1100 кг топлива на про-
бку двигателей, руление перед взлетом и после по-
садки и на снижение с $H = 1000 \text{ м}$, а также 1800 кг
резервный запас топлива на 1 час полета.

В случае отказа одного двигателя при уменьше-
нии крейсерской скорости до 550 км/час дальность
полета не уменьшается, в случае же отказа двух
двигателей полет возможен, но на меньших скро-
стях и высотах и с уменьшением дальности.

ТАРИРОВКА УКАЗАТЕЛЯ СКОРОСТИ .

На склонении при веденных замеров аэродинами-
ческой нагрузки к показаниям указателя скорости
в диапазоне реальной скорости самолета от 0 до
5 км/час.

4. УСТОЙЧИВОСТЬ И УПРАВЛЯЕМОСТЬ ПРОДОЛЬНАЯ УСТОЙЧИВОСТЬ И УПРАВЛЯЕМОСТЬ

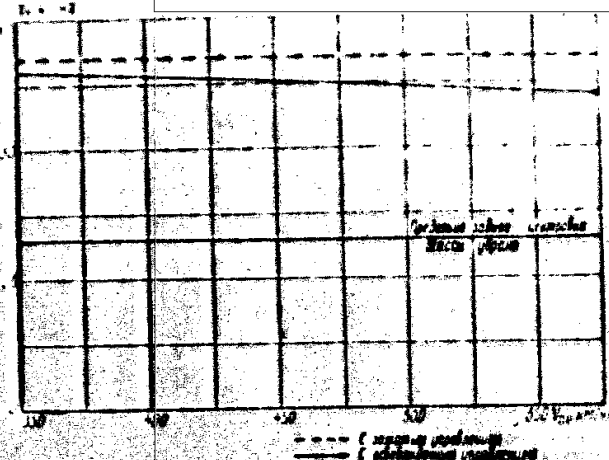
Самолет Ил-18 обладает хорошей устойчивостью и управляемостью в широком диапазоне центровок на всех эксплуатационных режимах полета.

За меру продольной устойчивости во перегрузке принимается разность между полетной центровкой и нейтральной центровкой по перегрузке. Эта разность называется запасом продольной устойчивости. Запас устойчивости должен быть не менее 10% САХ. На фиг. 24 даны нейтральные центровки по перегрузке для самолета с зажатым и освобож-
денным управлением. Как видно из графика, на
всех скоростях полета запас устойчивости при предельно задней эксплуатационной центровке всегда
больше минимально допустимого.

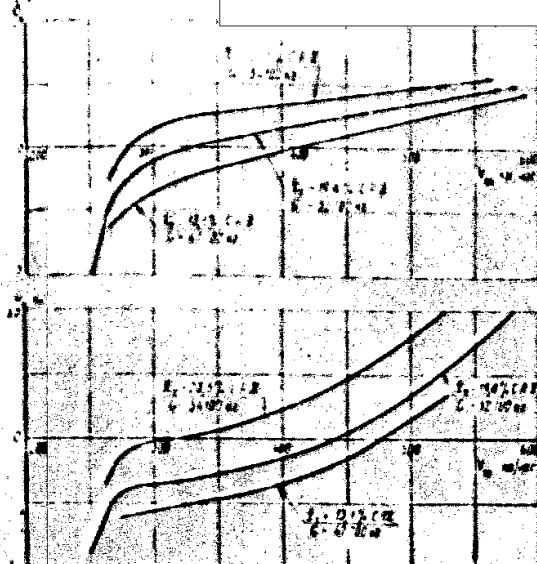
При более передних центровках этот запас будет
увеличиваться. На фиг. 25 даны характеристики
продольной управляемости, кривые $\frac{\partial \alpha}{\partial \delta_r}$ потребных
усилий на штурвале для создания единичной пер-
грузки и соответствующие им кривые потребных
расходов в руль $\frac{\partial \delta_r}{\partial \alpha}$ при различных весах, центров-
ках и скоростях полета. На всех эксплуатационных
режимах полета самолет является $\frac{\partial \alpha}{\partial \delta_r} > 30 : 100$
за пределами допустимых величин $\frac{\partial \delta_r}{\partial \alpha} < 30 : 100$.

REF ID: A1234567890

50X1-HUM

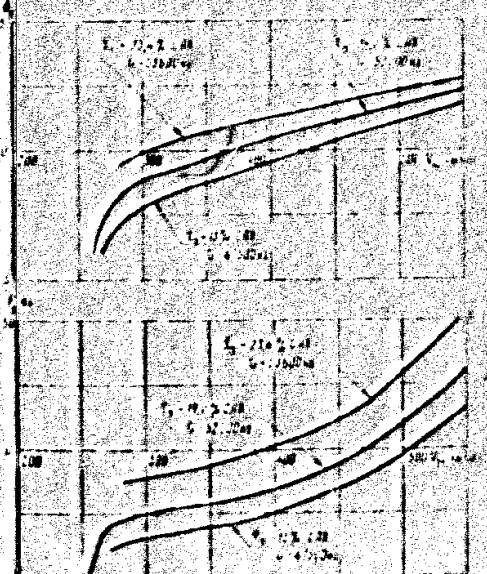


50X1-HUM



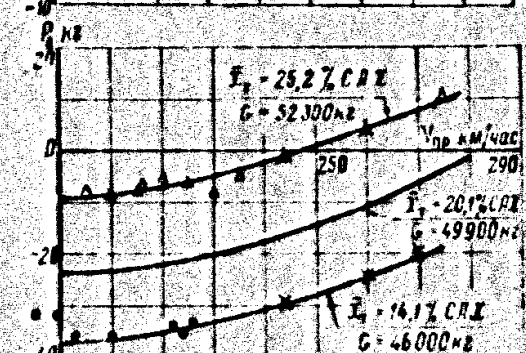
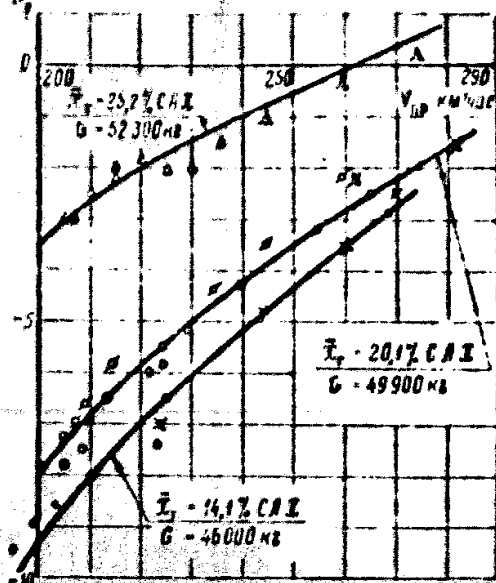
Фиг. 26. Балансировочные кривые отклонений руля высоты и усилений на штурвале по скорости прямолинейного полета при работе двигателей на начальном режиме. Шасси в положении вниз, тормоза вверх.

- $\gamma_0 = -2^\circ$, $H_{sp} = 4000$ м;
- δ_r — угол отклонения руля высоты;
- γ — усилия на штурвале при отклонении руля высоты;
- δ_t — угол отклонения триммера руля высоты;
- x_0 — центротяга самолета;
- V — скорость полета по прибору;
- G — вес самолета;
- H_{sp} — средняя высота.



Фиг. 27. Балансировочные кривые отклонений руля высоты и усилий на штурвале по скорости прямолинейного полета при работе двигателей в режиме посадки. Шасси в положении вниз.

$$\gamma_0 = -2^\circ, H_{sp} = 4000 \text{ м}$$



Фиг. 28. Балансировочные кривые отклонений руля высоты и усилий на штурвале по скорости прямолинейного полета при работе двигателей на начальном режиме. Шасси выпущено, тормоза в посадочном положении.

$$\gamma_0 = -10^\circ, \delta_t = +0.3^\circ, H_{sp} = 350 \text{ м}$$

существующие им условия при отклонении триммера на 9° .

Путем отключения триммера усилия при посадке с любой эксплуатационной центровкой могут быть доведены до желаемой величины.

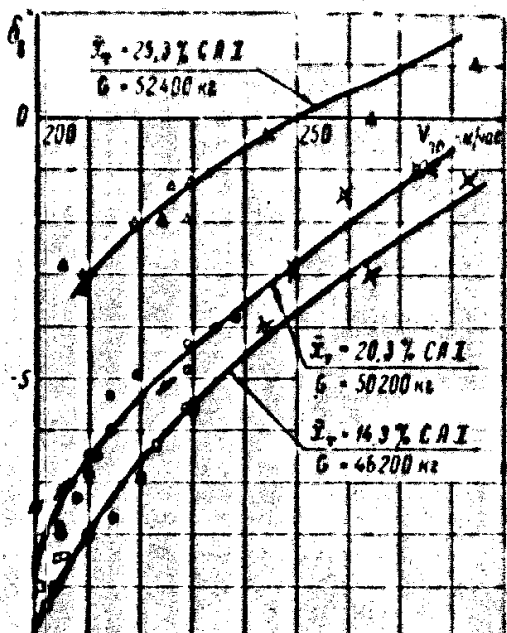
БОКОВАЯ УСТОЙЧИВОСТЬ И УПРАВЛЯЕМОСТЬ

Боковая динамическая устойчивость самолета характеризуется периодом боковых колебаний T_b , коэффициентом затухания колебаний ζ_b и определением угловой скорости крена в угловой скорости раскручивания. На фиг. 32 представлена кривая зависимости ζ_b от величины от индикаторной скорости. Период боковых колебаний меняется от 7 сек на малых скоростях до 15—16 сек на больших скоростях. Амплитуда α_b колебаний при этом уменьшается вдвое (период в 2 раза).

SECRET

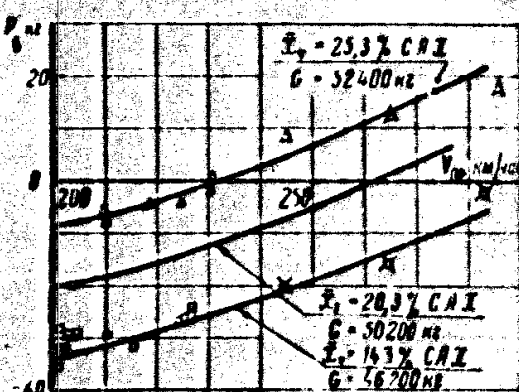
31

50X1-HUM



Фиг. 32. Балансировочные кривые: отклонений руля высоты и усилий на штурвале по скорости прямолинейного полета при работе двигателей на режиме малого газа. Шасси выпущено, закрылки в посадочном положении.

θ_R — угол отклонения закрылков;
 δ_R — угол отклонения тrimмера руля высоты;
 φ — угол отклонения руля высоты;
 V_{10} — скорость на штурвале при отклонении руля высоты;
 V_{up} — скорость полета по прибору;
 H_{cr} — средняя высота полета;
 G — вес самолета;
 \bar{x}_f — центрока самолета.

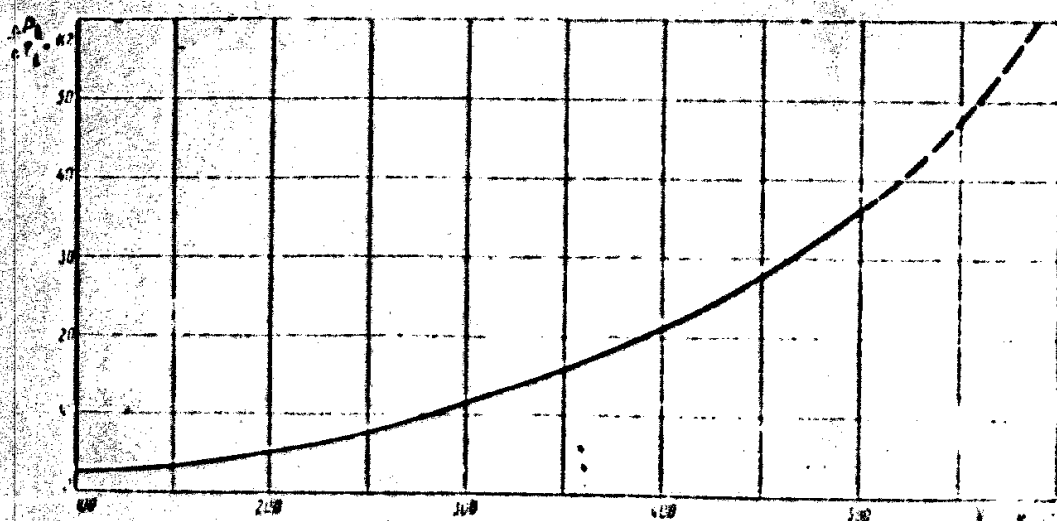


УСТОЙЧИВОСТЬ И УДРАВЛЯЕМОСТЬ ПРИ ОТКАЗЕ ДВИГАТЕЛЕЙ

Наиболее тяжелым с точки зрения боковой балансировки самолета является полет на малых скоростях с одним отказавшим крайним двигателем и остальными двигателями, работающими на взлетной мощности.

На фиг. 35 и 36 даны балансировочные кривые для руля поворота и элеронов при полете с отказавшим крайним двигателем на скорости $V_{10} = 265 \text{ км/час}$. Закрылки находятся во взлетном положении. Винг отказалого двигателя автоматически устанавливается во флюгерное положение. Необходимые для балансировки усилия могут быть полностью сняты триммерами.

В случае отказа автофлюгера потребные для балансировки усилия будут значительно больше и поэтому

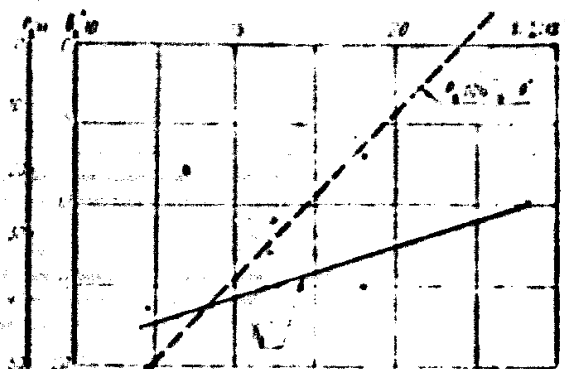


Фиг. 35. Наменение усилий на штурвале на δ_R отклонения тrimмера руля высоты по скорости полета.

следует исключить применение ручного флюгирования. Надо и погаска в любом откачивании двигателем и зафлюгированным винтом по технике вынуждено практически не отличается от полета и погаски с четырьмя работающими двигателями.

На фиг. 37 и 38 даны балансировочные кривые с двумя остановленными с одной стороны двигателями и зафлюгированными винтами. Получающиеся при этом усилия могут быть полностью сняты тормозами.

При выходе на второй круг с двумя остановленными двигателями последачи газа работающим двигателям усилия на педалях могут достигать 40 кг, в то же время от хлопушек до 20 кг.



Фиг. 31. Отклонение руля высоты в условиях на штурвале в момент касания земли при посадке в зависимости от центровки

$G_{ср} = 45\,000 \text{ кг}$, $V_{пос} = 200 \text{ км/час}$.

$G_{ср}$ — средний вес самолета;

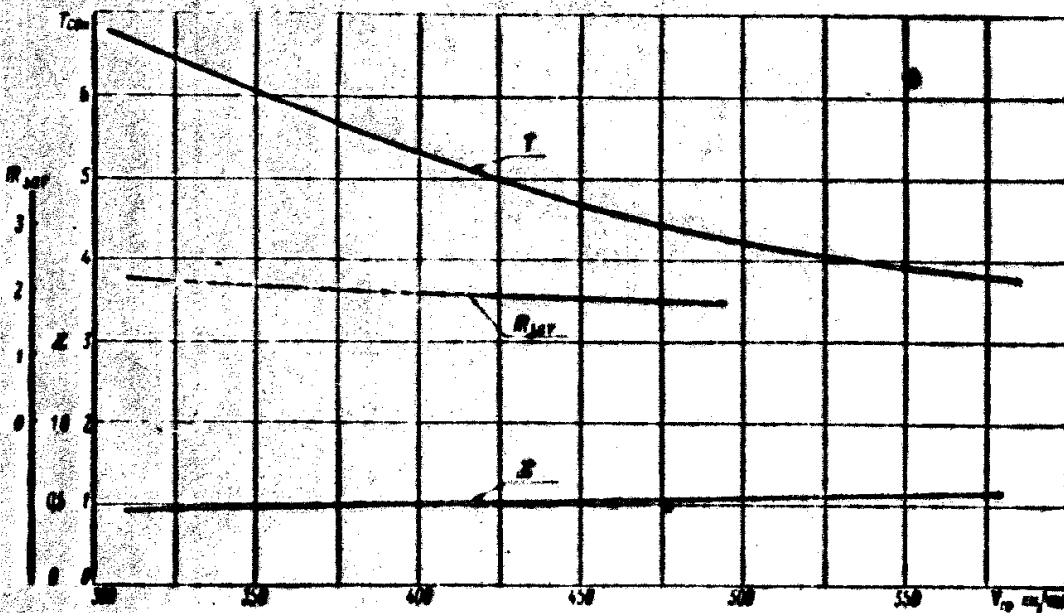
$V_{пос}$ — скорость при посадке;

γ — угол отклонения руля высоты;

F_p — усилие на штурвале при отклонении руля высоты;

γ_0 — угол отклонения триммера руля высоты;

x_0 — центроиния самолета.



Фиг. 32. Характеристики боковой динамической устойчивости.

$M_{бок}$ — коэффициент затухания колебаний;

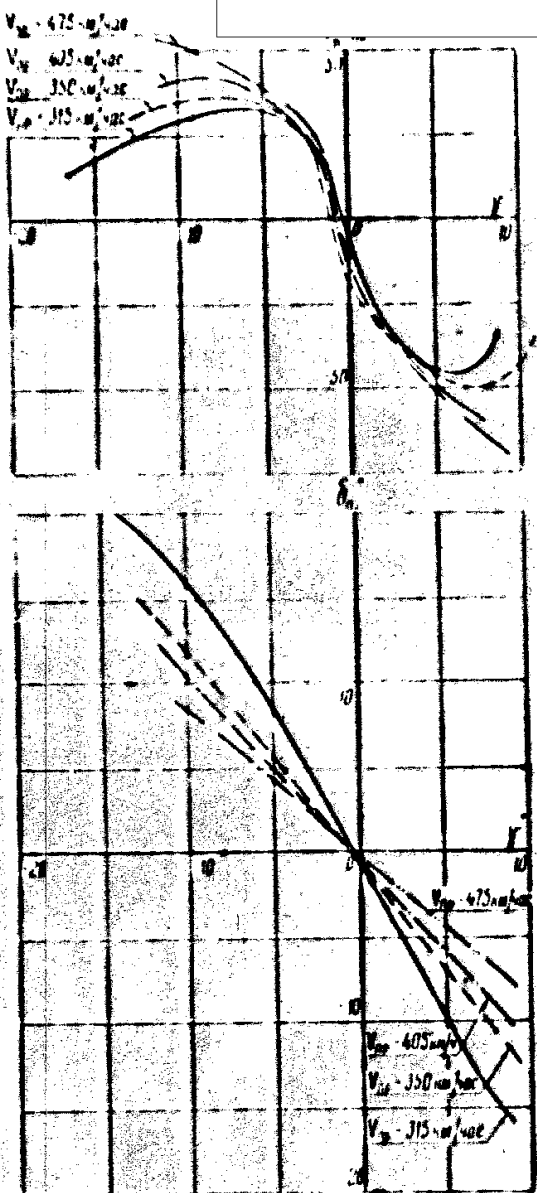
$V_{пос}$ — прибрежная скорость;

T — период боковых колебаний;

ζ — отношение угловой скорости крена к угловой скорости рыскания.

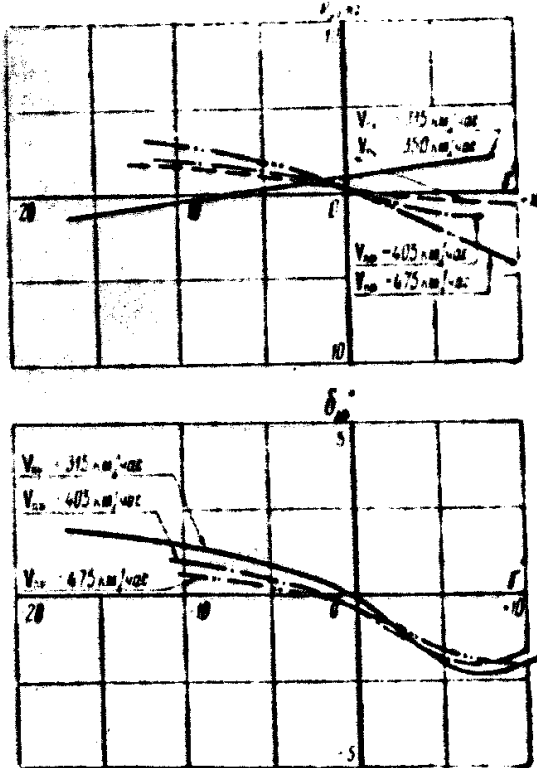
SECRET :

50X1-HUM



Фиг. 32. Балансировочные кривые для левого руля поворота в усилии на педалях по углу крена для прямолинейного полета со скольжением. Шасси и крылья убраны.

$\tau_{\text{в}} = \text{const}$; $H_{\text{ср}} = 6300 \text{ м}$; $G_{\text{ср}} = 50000 \text{ кг}$;
 $\tau_{\text{в}} = \text{угол отклонения тумблера руля поворота}$;
 $H_{\text{ср}} = \text{средняя высота полета}$;
 $G_{\text{ср}} = \text{средний вес самолета}$;
 $\rho = \text{угол отклонения руля поворота}$;
 $P_{\text{в}} = \text{усилие на педаль при отклонении руля поворота}$;
 $\gamma = \text{угол крена}$;
 $V_{\text{п}} = \text{скорость полета по прибору}$.



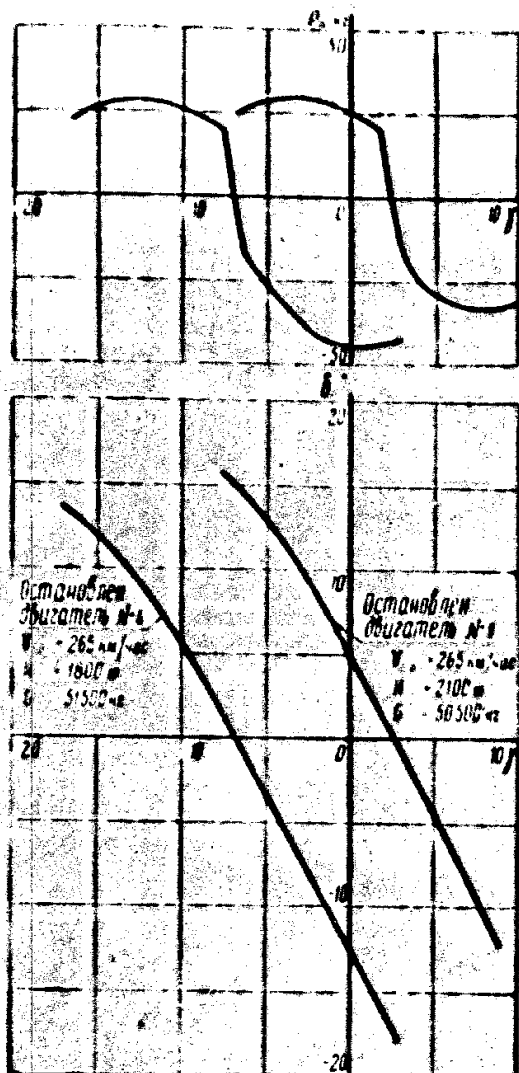
Фиг. 33. Балансировочные кривые для левого руля поворота и усилий на штурвале от них по углу крена для прямолинейного полета со скольжением. Шасси и крылья убраны.

$\tau_{\text{в}} = \text{const}$; $H_{\text{ср}} = 6300 \text{ м}$; $G_{\text{ср}} = 50000 \text{ кг}$;
 $\tau_{\text{в}} = \text{угол отклонения тумблера заэровки}$;
 $H_{\text{ср}} = \text{средняя высота полета}$;
 $G_{\text{ср}} = \text{средний вес самолета}$;
 $\tau_{\text{в}} = \text{угол отклонения элеронов}$;
 $P_{\text{в}} = \text{усилие на штурвале при отклонении заэровок}$;
 $\gamma = \text{угол крена}$;
 $V_{\text{п}} = \text{скорость полета по прибору}$.

SECRET

50X1-HUM

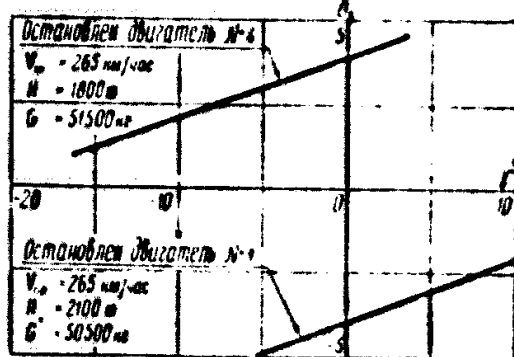
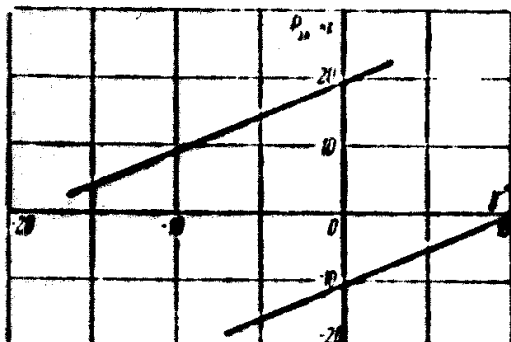
50X1-HUM



Фиг. 35. Балансировочные кривые отклонений руля поворота в усиле на педали по углу крена для прямодинамического полета со скольжением с тремя работающими двигателями. Режим работы двигателей – взлетный. Шасси выпущено. Закрылки – во взлетном положении.

$\varphi_0 = 30^\circ$, $\psi_{\varphi} = \text{const}$;

- φ_0 – угол отклонения закрылков;
 ψ_{φ} – угол отклонения триммера руля поворота;
 F_p – усилие на педали при отклонении руля поворота;
 φ – угол крена;
 V_∞ – скорость полета по прибору;
 H – высота полета;
 G – вес самолета.



Фиг. 36. Балансировочные кривые отклонений закрылков в усиле на штурвале от них по углу крена для прямодинамического полета со скольжением с тремя работающими двигателями. Режим работы двигателей – взлетный. Шасси выпущено. Закрылки – во взлетном положении.

$\varphi_0 = 30^\circ$, $\psi_{\varphi} = \text{const}$;

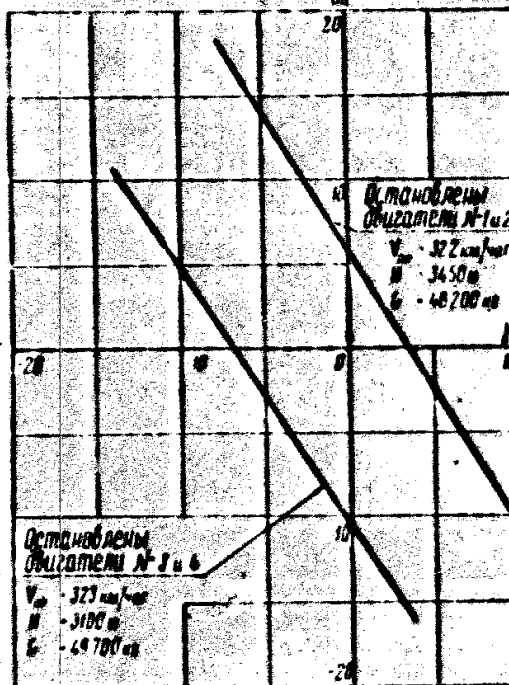
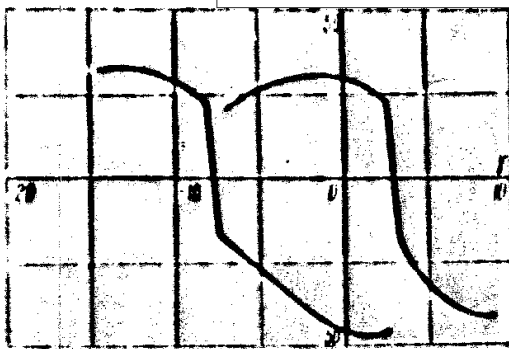
- φ_0 – угол отклонения закрылков;
 ψ_{φ} – угол отклонения триммера закрылок;
 F_p – усилие на штурвале при отклонении закрылков;
 φ – угол крена;
 V_∞ – скорость по прибору;
 H – высота полета;
 G – вес самолета.

SECRET

50X1-HUM

SECRET

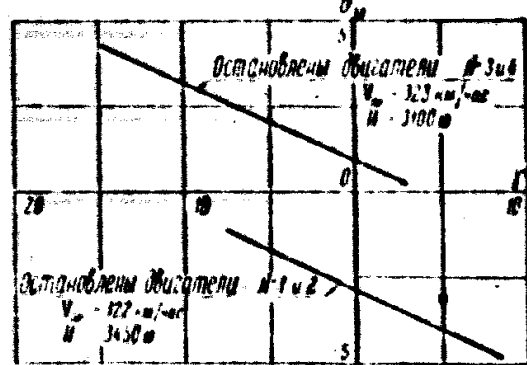
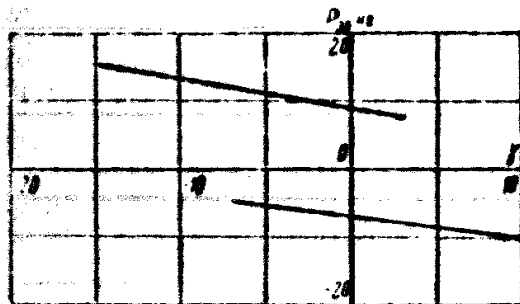
50X1-HUM



Фиг. 37. Балансировочные кривые отклонений руля поворота в усилки на педалях по углу крена для прямолинейного полета со скольжением с двумя работающими двигателями. Режим работы двигателей минимальный. Шасси и закрылки убраны.

$\tau_{\text{тр}} = \text{const}$

- $\varphi_{\text{т}}$ — угол отклонения тrimмера руля поворота от нейтрального положения;
- $\varphi_{\text{в}}$ — угол отклонения руля в фюзеляже от нейтрального положения;
- $P_{\text{н}}$ — усилие на педалях при отклонении руля поворота;
- α — угол крена;
- V — скорость полета по прибору;
- H — высота полета;
- G — вес самолета.



Фиг. 38. Балансировочные кривые отклонений зэрнов в усилки на штурвале от них по углу крена для прямолинейного полета со скольжением с двумя работающими двигателями. Режим работы двигателей минимальный. Шасси и закрылки убраны.

$\tau_{\text{тр}} = \text{const}$

- $\varphi_{\text{т}}$ — угол отклонения тrimмера зэрнов;
- $\varphi_{\text{в}}$ — угол отклонения зэрнов;
- $P_{\text{н}}$ — усилие на штурвале от зэрнов;
- α — угол крена;
- V — скорость по прибору;
- H — высота полета.

SECRET

50X1-HUM



ГЛАВА I

ОСНОВНЫЕ СВЕДЕНИЯ О САМОЛЕТЕ

I. ОБЩАЯ ЧАСТЬ

Новый магистральный пассажирский самолет Ил-18 (фиг. 1, 2, 3, 4 и 5) конструкции С. В. Ильиншина предназначен для массовой эксплуатации.

По схеме Ил-18 представляет собой моноплан с низко расположенным трапециевидным (в плане) крылом (фиг. 6).

Самолет снабжен четырьмя турбовинтовыми двигателями АИ-20Д мощностью по 4000 эквивалентных л. с. каждый. В нем размещаются 73—111 пасажиров.

Ил-18 обладает большой балансировочной дальностью полета. Он может подняться без посадки расстояние от Москвы до Нарьян-Мара, от Москвы до Томска, т. е. до 5000 км, причем остается еще запас топлива на 1 час полета. Рекордная скорость полета 625 ± 650 км/час. Длина разбега при взлете при различных весах самолета от 300 до 1200 кг, а пробега — при посадке (с торможением винтами двигателей) — всего 600 ± 700 м.

При создании Ил-18 были поставлены три основные задачи:

1. Обеспечение безопасности полета.
2. Получение высоких экономических и эксплуатационных показателей.
3. Обеспечение пассажирам всех необходимых услуг во время их пребывания в пути.

Ниже приводятся те мероприятия, с помощью которых решены задачи безопасности, экономичности и комфорта.

БЕЗОПАСНОСТЬ ПОЛЕТА

На Ил-18 безопасность полета обеспечивается рядом специальных рабочебашенных и вспомогательных мероприятий. Укажем важнейшие из них.

На самолете применены надежные турбовинтовые двигатели АИ-20Д.

Установка четырех двигателей делает возможным полет самолета и горизонтальный полет при отказе одного из двух двигателей. Так, в случае отказа одного из двигателей можно продолжать полет при срывать горизонтальный полет на рабочей высоте 8000 м без снижения. При неисправности

двух двигателей горизонтальный полет произойдет на меньших высотах. Рафторами спасательные устройства по автомобильному и электромеханическому флагированию винтов на всех режимах полета, что исключает возможность возникновения обратительной или большой величины на неисправном двигателе.

Проведены противопожарные мероприятия. Топливо узло возможно дальше от герметических щобин — оно вынесено в крылья. В силовых установках все горючие части изолированы от конструкции самолета стеклами из жаропрочной титановой стали, выхлопные трубы проходят над крылом и выведены в его задней кромке; интенсивная система вентиляции гондол способствует хорошему отводу тепла.

Кроме того, имеется еще мощная система огнетушения с применением высокоэффективного огнетушащего состава.

В конструкцию самолета заложены элементы, повышающие его прочность при длительном воздействии повторных нагрузок. Все наиболее ответственные участки фюзеляжа имеют дублирующие стальные детали, которые обеспечивают так называемую «двойную» прочность.

Для повышения надежности многие важнейшие навигационные приборы, агрегаты радио, и высокого оборудования дублированы.

В носовой части фюзеляжа установлен радиолокатор, предупреждающий летчика о встречных препятствиях самолетах в грозовых фронтах. При помощи этого локатора можно также решать стольные навигационные задачи.

Самолет располагает радиоустройством след. поколений.

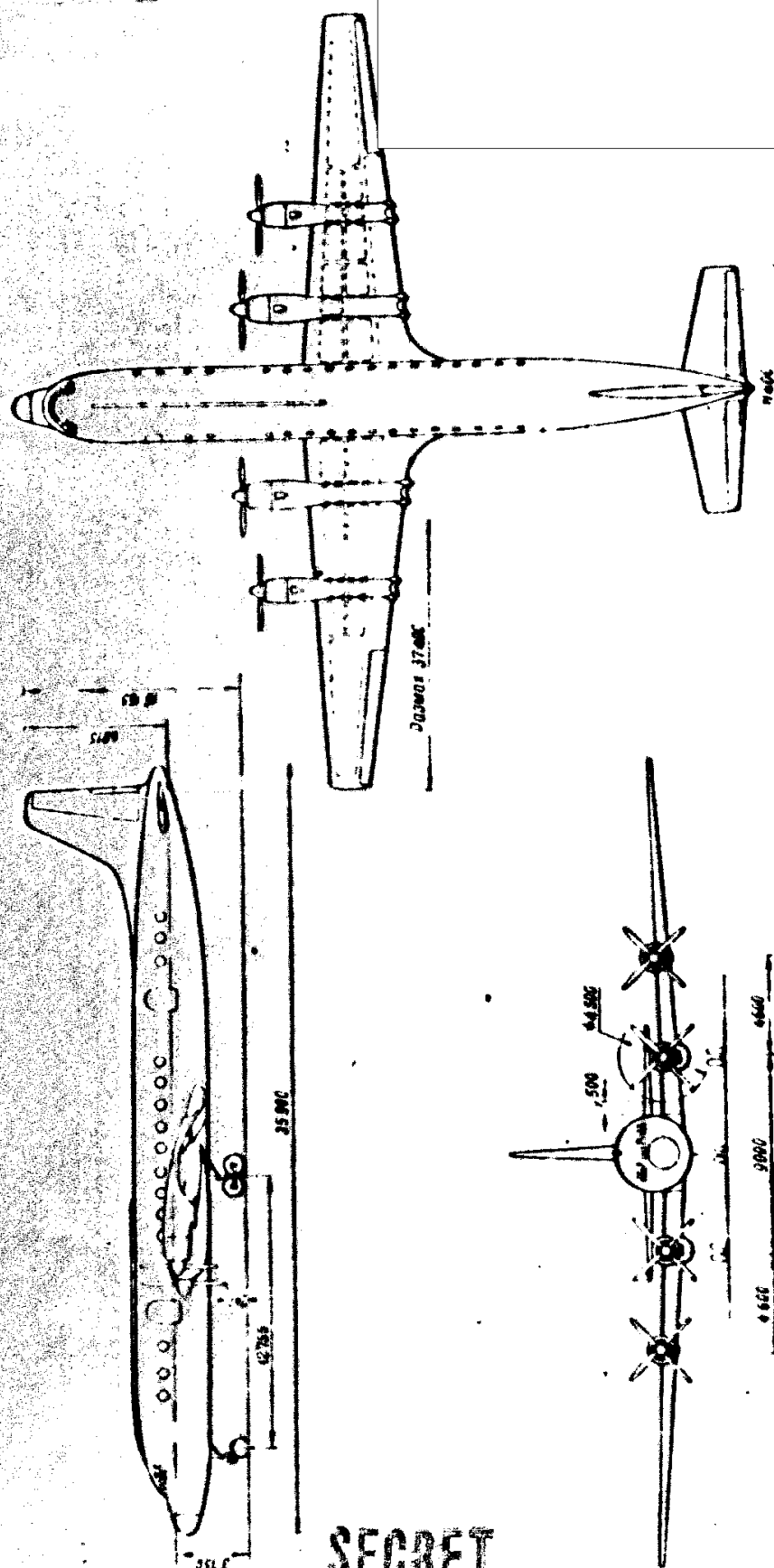
В электрооборудовании применена кислородная многоканальная система зарядки и четырехканальное двухстороннее питание распределительных шин. Такая схема сохраняет работоспособность до последнего действующего источника электропитания.

Надежные и эффективные электромеханические противоблоченные и дистанционные устройства для обеспечения безопасности.

SECRET

50X1-HUM

50X1-HUM



SECRET

50X1-HUM